

TABLAS

Tabla S1. Selección del mejor modelo lineal para las distintas variables explicativas y su interacción. Valores del Akaike Information Criterion (AIC) para los modelos con y sin la interacción (contraste-especie) para los anillos miméticos *dennis ray* y *postman*. Para el anillo *postman* se adiciona la localidad como una variable explicativa. Los mejores modelos según este criterio se señalan en negrilla.

| Anillo mimético | Contraste | Variable dependiente | Variables explicativas | VALOR AIC |
|------------------------|----------------|----------------------|------------------------|----------------|
| DENNIS-RAY | CROMÁTICO | TOXICIDAD | Negro-Amarillo | 104.314 |
| | | | Interacción | 108.477 |
| | | | Negro-Rojo | 104.610 |
| | | | Interacción | 109.224 |
| | | | Amarillo-Fondo | 105.066 |
| | | | Interacción | 110.244 |
| | | | Rojo-Fondo | 100.686 |
| | Interacción | 99.736 | | |
| | ACROMÁTICO | TOXICIDAD | Negro-Amarillo | 103.365 |
| | | | Interacción | 103.795 |
| | | | Negro-Rojo | 104.558 |
| | | | Interacción | 109.806 |
| | | | Amarillo-Fondo | 104.729 |
| | | | Interacción | 110.424 |
| Rojo-Fondo | | | 102.807 | |
| Interacción | 107.205 | | | |
| POSTMAN | CROMÁTICO | TOXICIDAD | Negro-Rojo | 231.922 |
| | | | Negro-Rojo + Localidad | 225.990 |
| | | | Interacción | 227.885 |
| | | | Rojo-Fondo | 230.679 |
| | | | Rojo-Fondo + Localidad | 223.235 |
| | Interacción | 224.60 | | |
| | ACROMÁTICO | TOXICIDAD | Negro-Rojo | 230.590 |
| | | | Negro-Rojo + Localidad | 225.850 |
| | | | Interacción | 222.658 |
| | | | Rojo-Fondo | 231.199 |
| Rojo-Fondo + Localidad | | | 224.246 | |
| Interacción | 222.096 | | | |

FIGURAS

Dennis ray

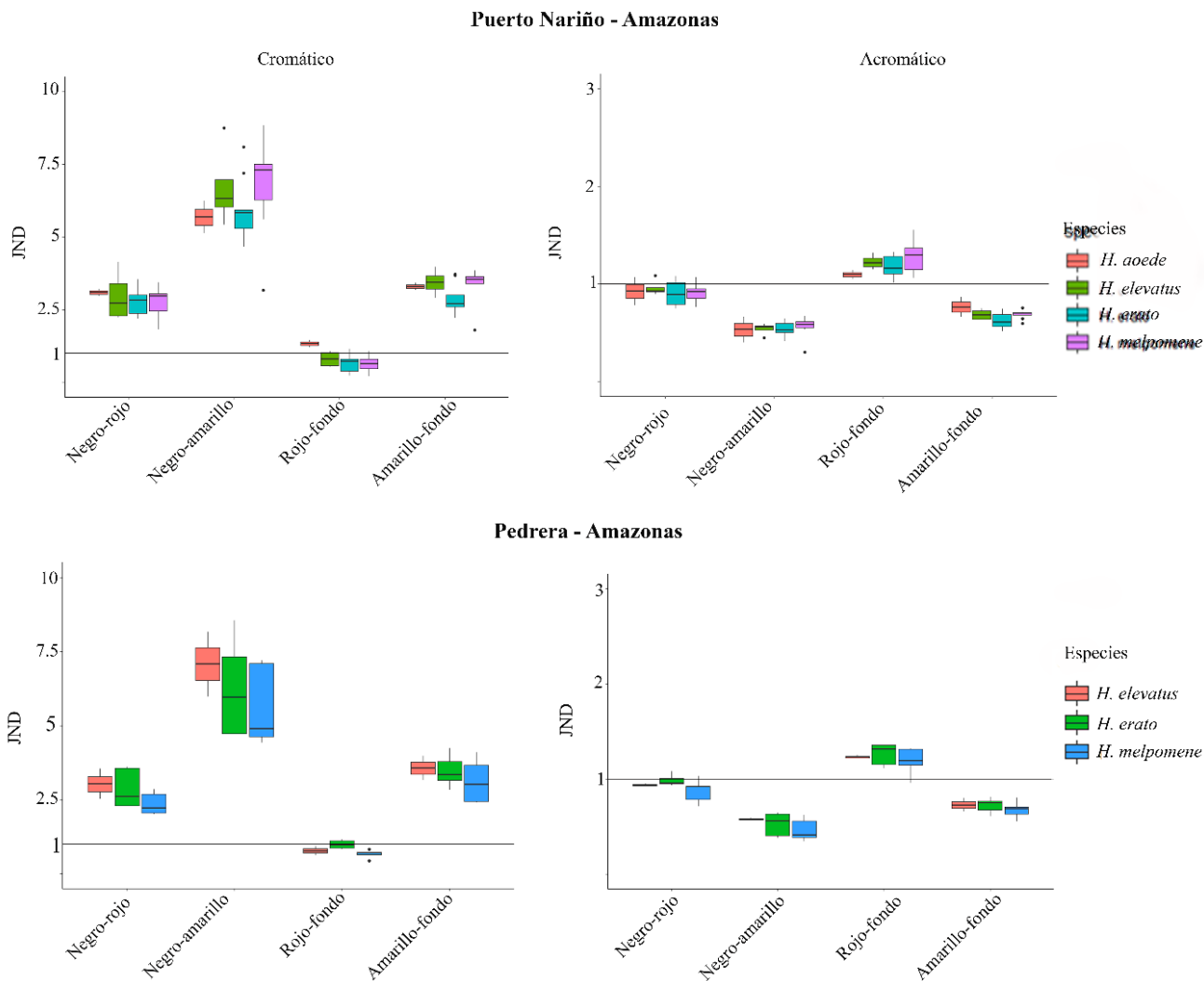


Figura S1. JNDs entre los parches de color para cada especie para los diferentes contrastes. Contraste cromáticos y acromáticos entre las diferentes bandas de color contra el negro y el fondo del bosque para el anillo *dennis-ray* en las diferentes localidades. Evaluados bajo el tipo de visión del ave UVS, vista dorsal del ala y la luz ambiental bosque.

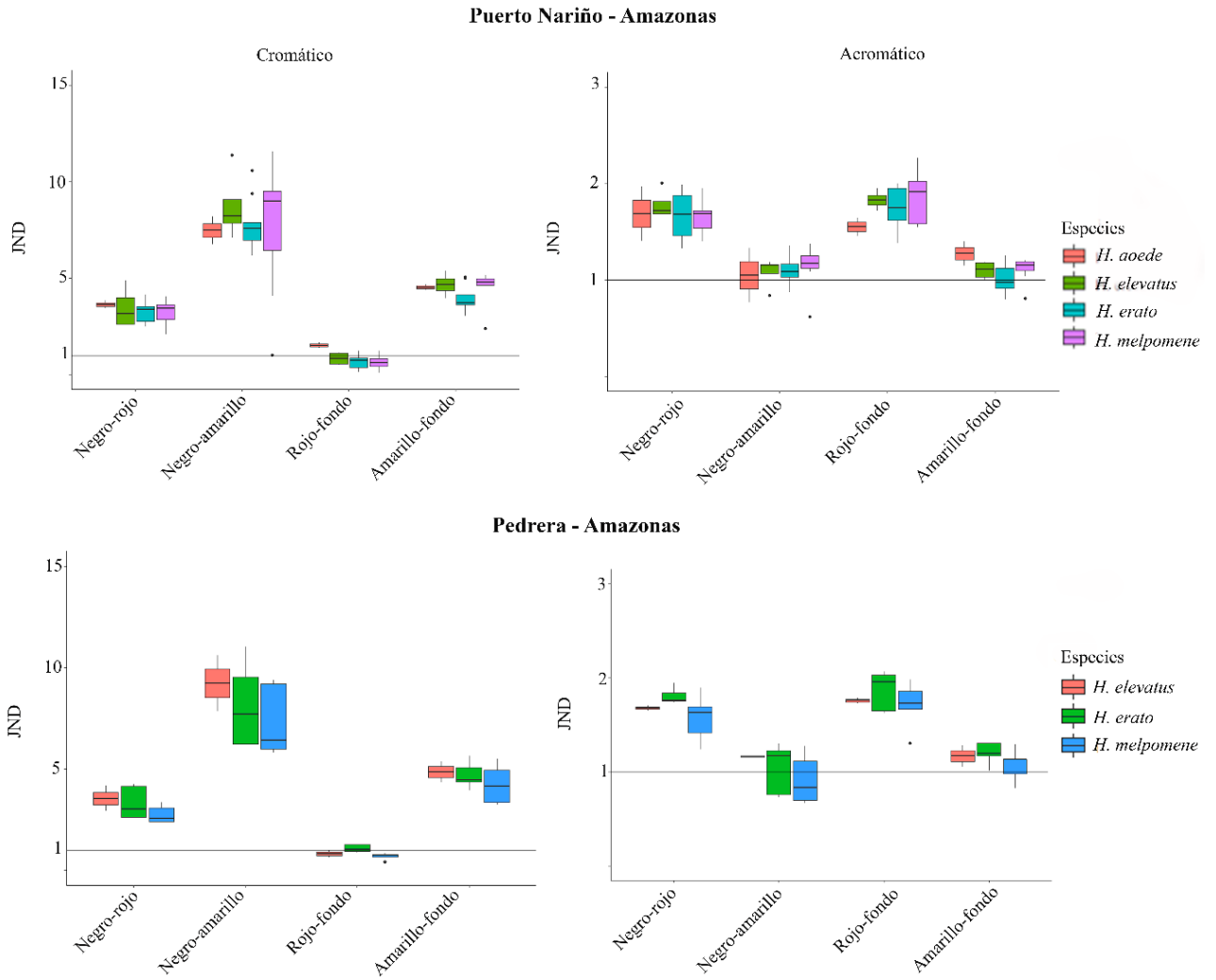


Figura S2. JNDs entre los parches de color para cada especie para los diferentes contrastes. Contraste cromáticos y acromáticos entre las diferentes bandas de color contra el negro y el fondo del bosque para el anillo *dennis-ray* en las diferentes localidades. Evaluados bajo el tipo de visión del ave UVS, vista dorsal del ala y la luz ambiental bosque en transición.

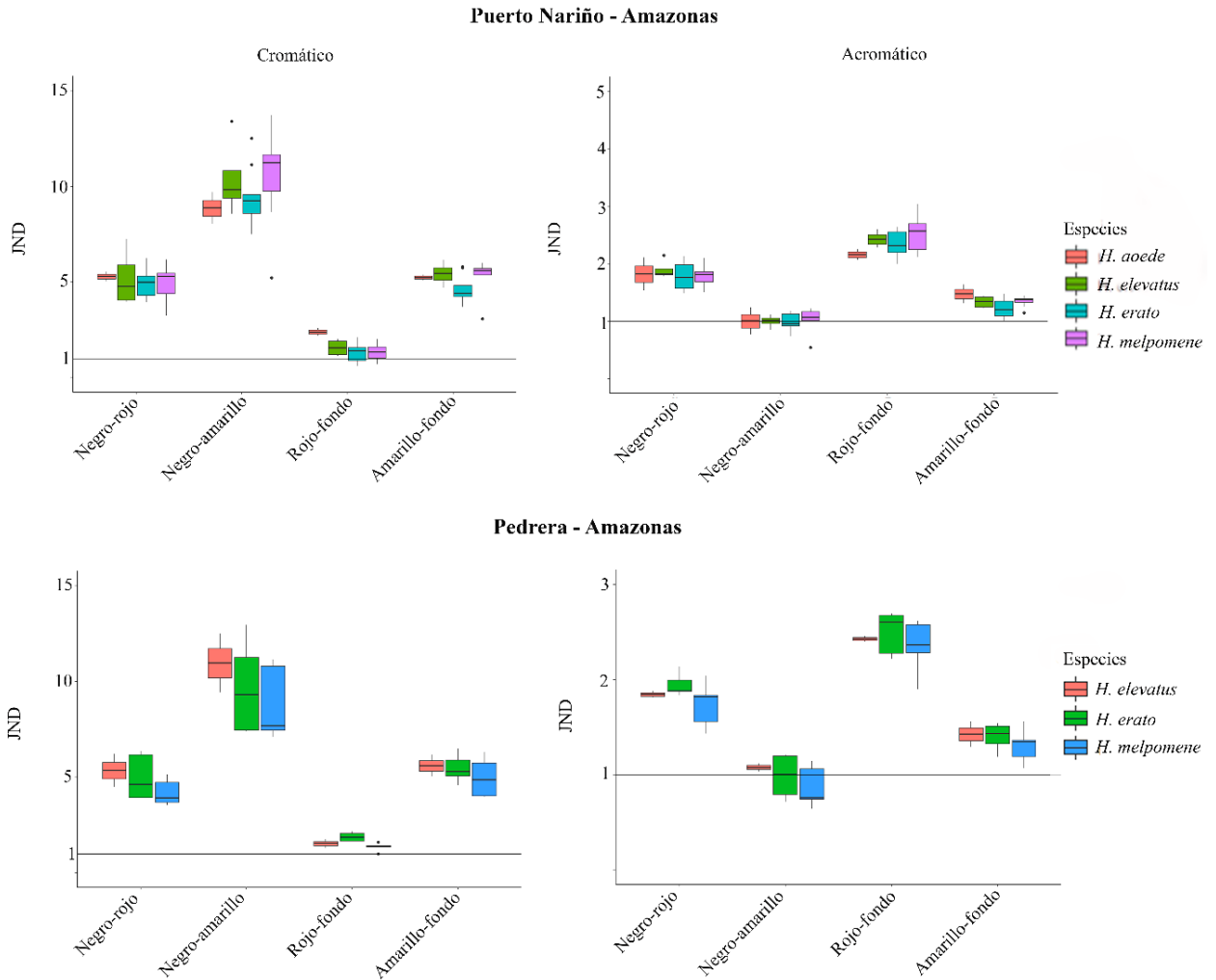


Figura S3. JNDs entre los parches de color para cada especie para los diferentes contrastes. Contraste cromáticos y acromáticos entre las diferentes bandas de color contra el negro y el fondo del bosque para el anillo *dennis-ray* en las diferentes localidades. Evaluados bajo el tipo de visión del ave UVS, vista dorsal del ala y la luz ambiental claro pequeño.

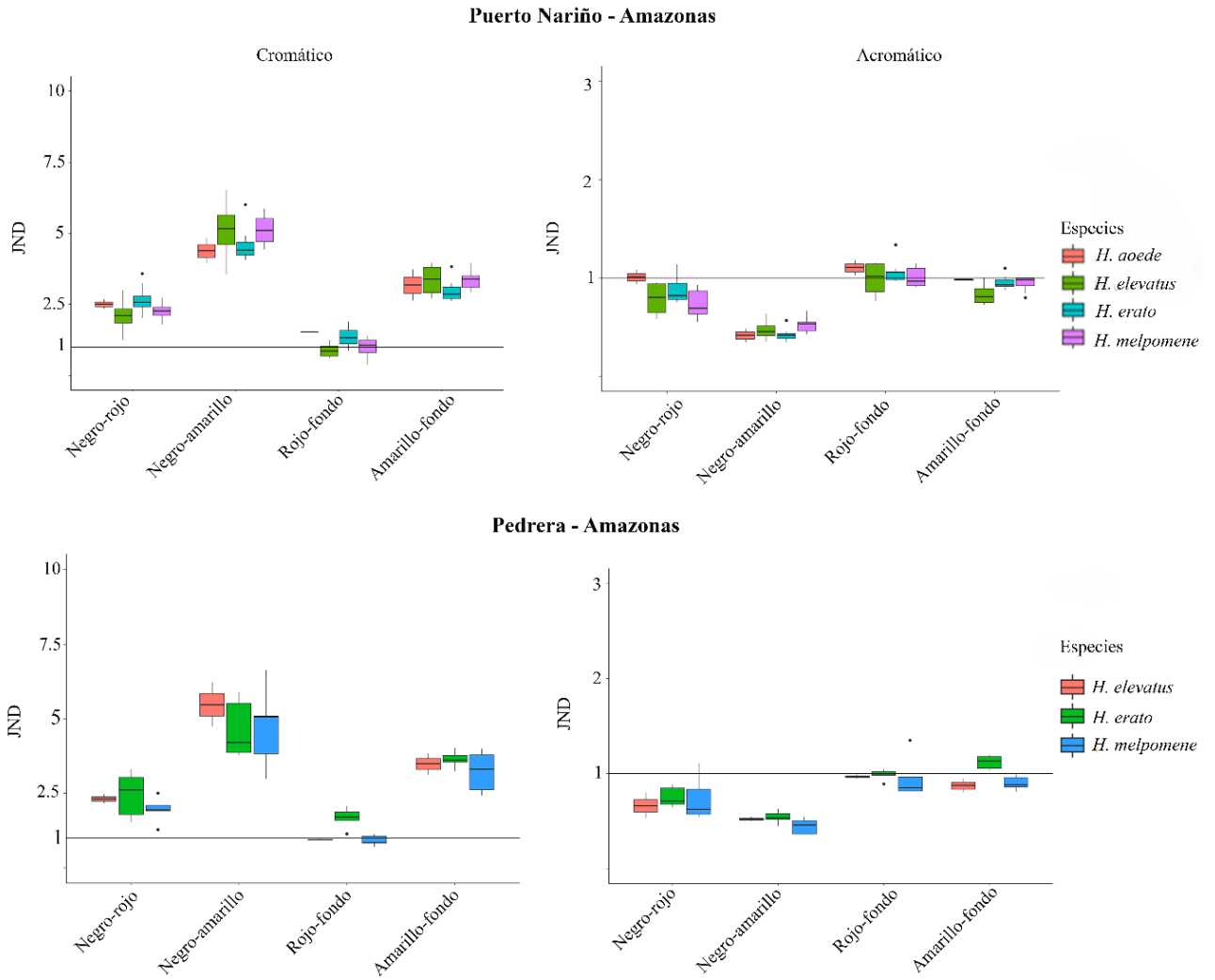


Figura S4. JNDs entre los parches de color para cada especie para los diferentes contrastes. Contraste cromáticos y acromáticos entre las diferentes bandas de color contra el negro y el fondo del bosque para el anillo *dennis-ray* en las diferentes localidades. Evaluados bajo el tipo de visión del ave UVS, vista ventral del ala y la luz ambiental bosque.

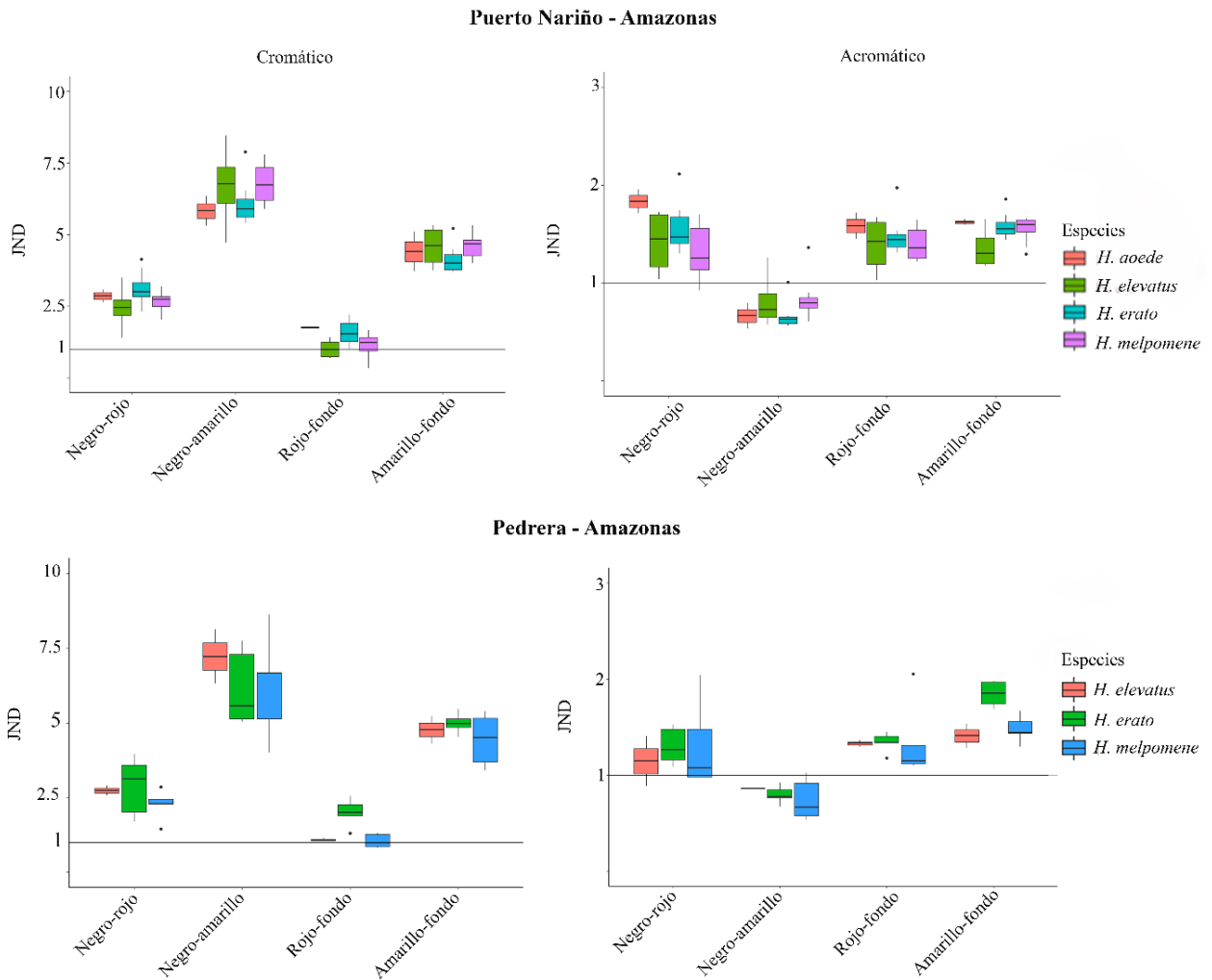


Figura S5. JNDs entre los parches de color para cada especie para los diferentes contrastes. Contraste cromáticos y acromáticos entre las diferentes bandas de color contra el negro y el fondo del bosque para el anillo *dennis-ray* en las diferentes localidades. Evaluados bajo el tipo de visión del ave UVS, vista ventral del ala y la luz ambiental bosque en transición.

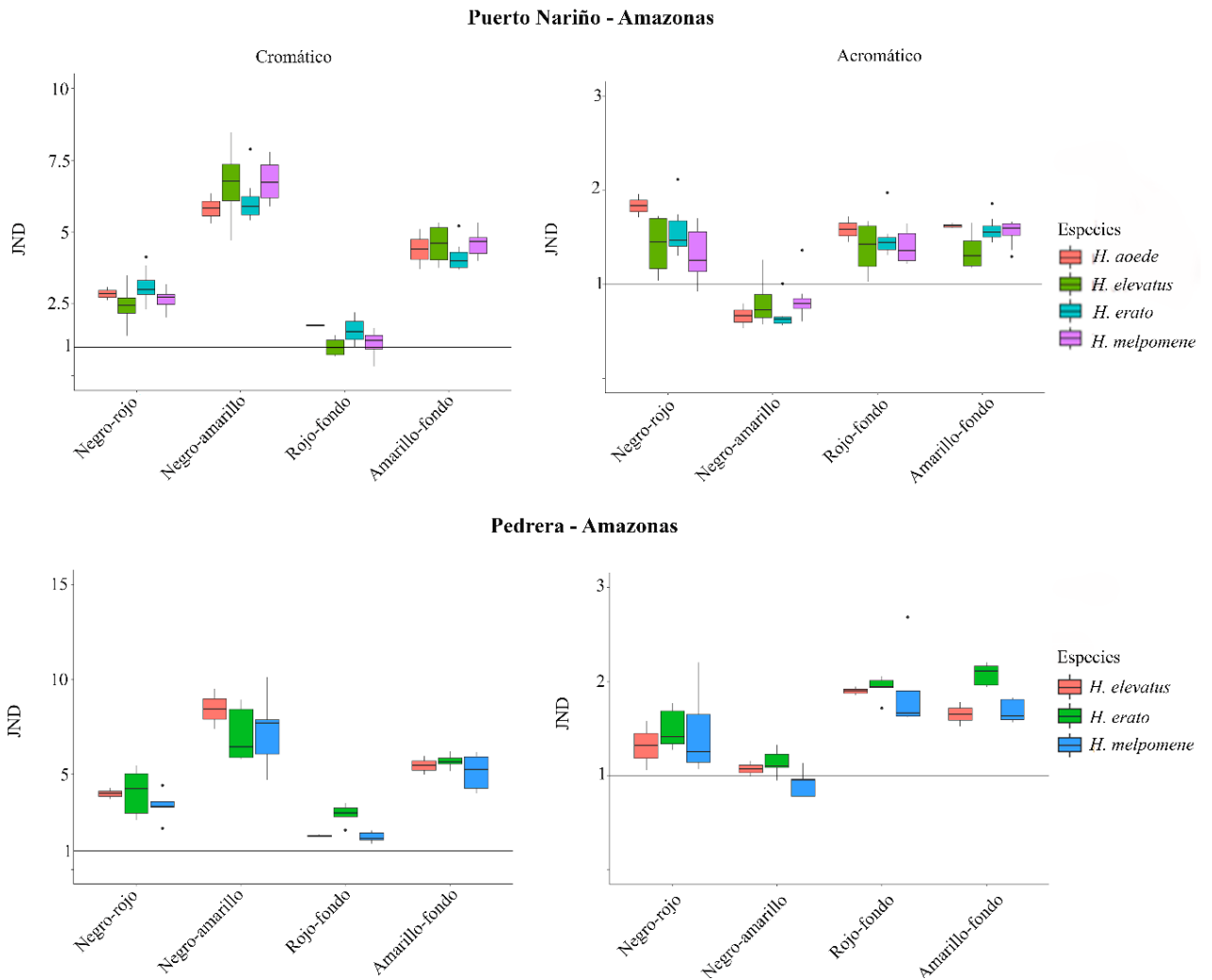


Figura S6. JNDs entre los parches de color para cada especie para los diferentes contrastes. Contraste cromáticos y acromáticos entre las diferentes bandas de color contra el negro y el fondo del bosque para el anillo *dennis-ray* en las diferentes localidades. Evaluados bajo el tipo de visión del ave UVS, vista ventral del ala y la luz ambiental claro pequeño.

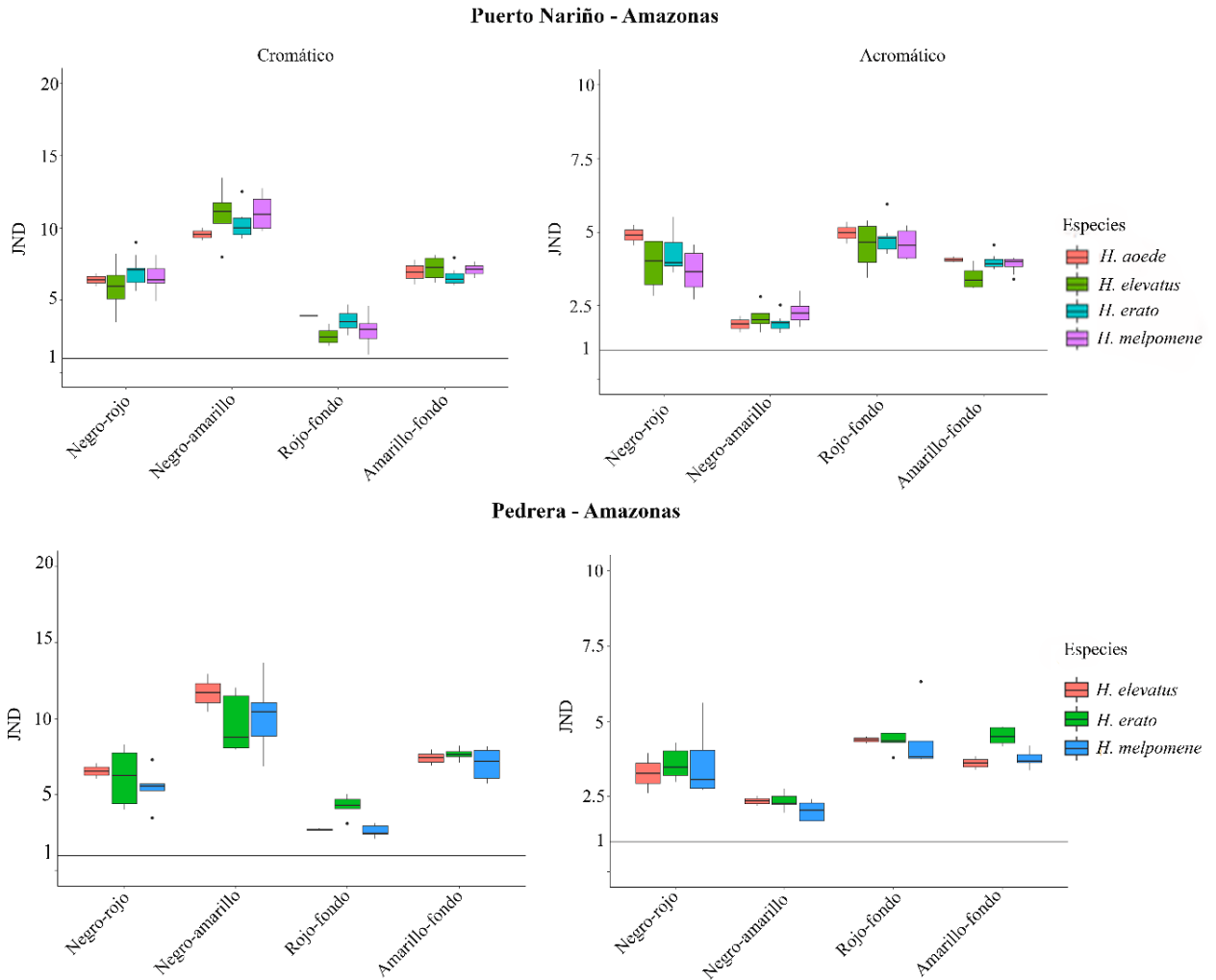


Figura S7. JNDs entre los parches de color para cada especie para los diferentes contrastes. Contraste cromáticos y acromáticos entre las diferentes bandas de color contra el negro y el fondo del bosque para el anillo *dennis-ray* en las diferentes localidades. Evaluados bajo el tipo de visión del ave UVS, vista ventral del ala y la luz ambiental claro grande.

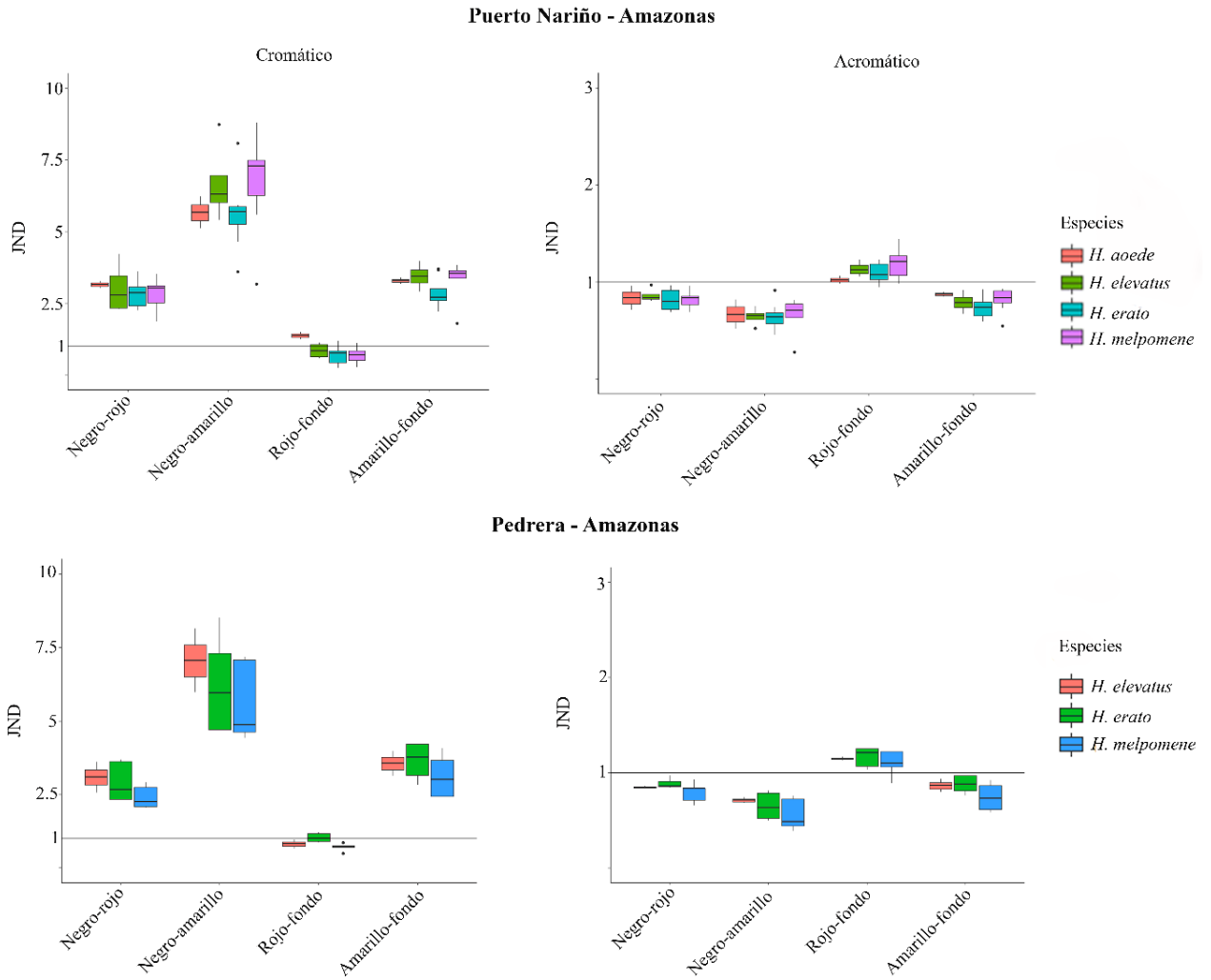


Figura S8. JNDs entre los parches de color para cada especie para los diferentes contrastes. Contraste cromáticos y acromáticos entre las diferentes bandas de color contra el negro y el fondo del bosque para el anillo *dennis-ray* en las diferentes localidades. Evaluados bajo el tipo de visión del ave VS, vista dorsal del ala y la luz ambiental bosque.

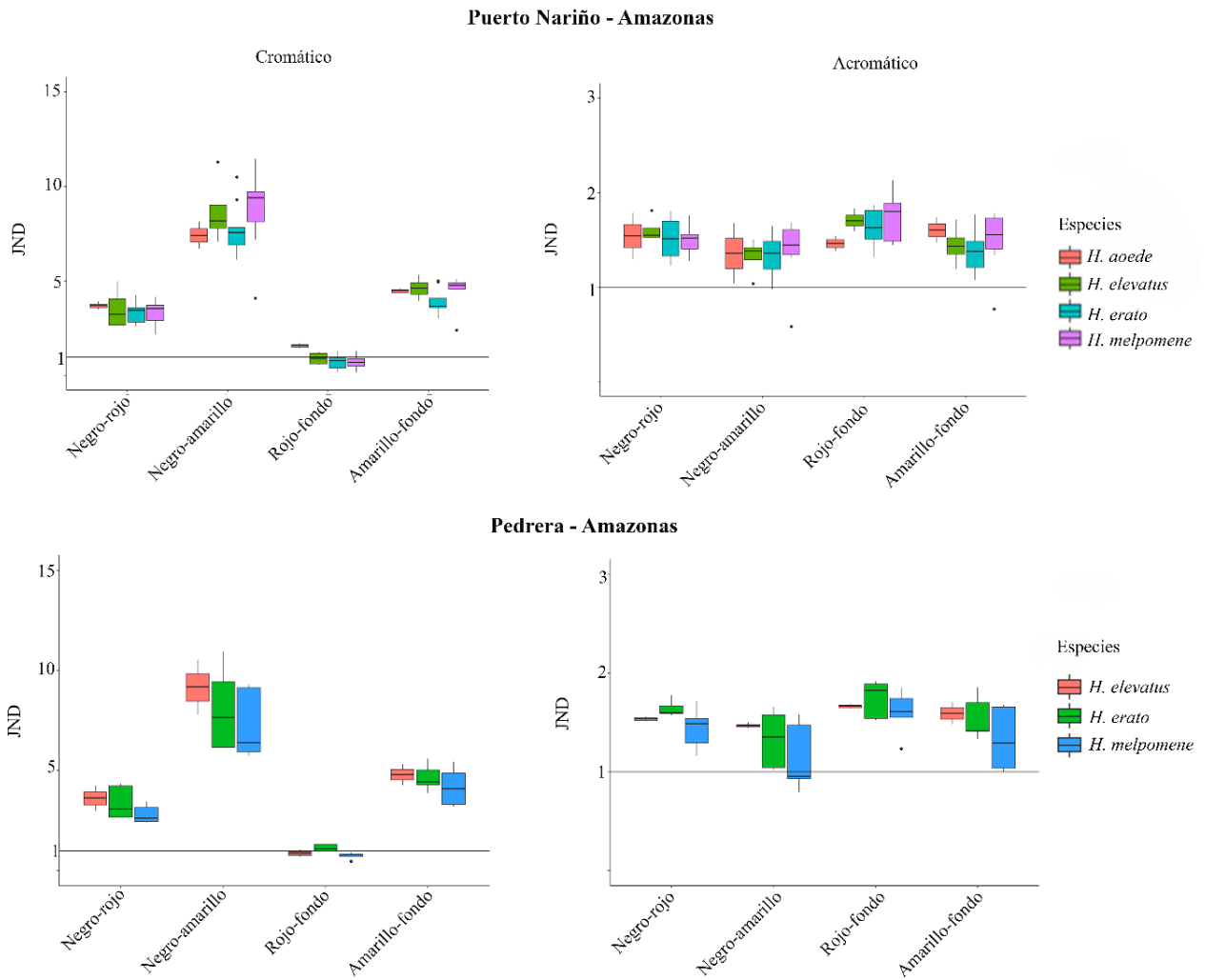


Figura S9. JNDs entre los parches de color para cada especie para los diferentes contrastes. Contraste cromáticos y acromáticos entre las diferentes bandas de color contra el negro y el fondo del bosque para el anillo *dennis-ray* en las diferentes localidades. Evaluados bajo el tipo de visión del ave VS, vista dorsal del ala y la luz ambiental bosque en transición.

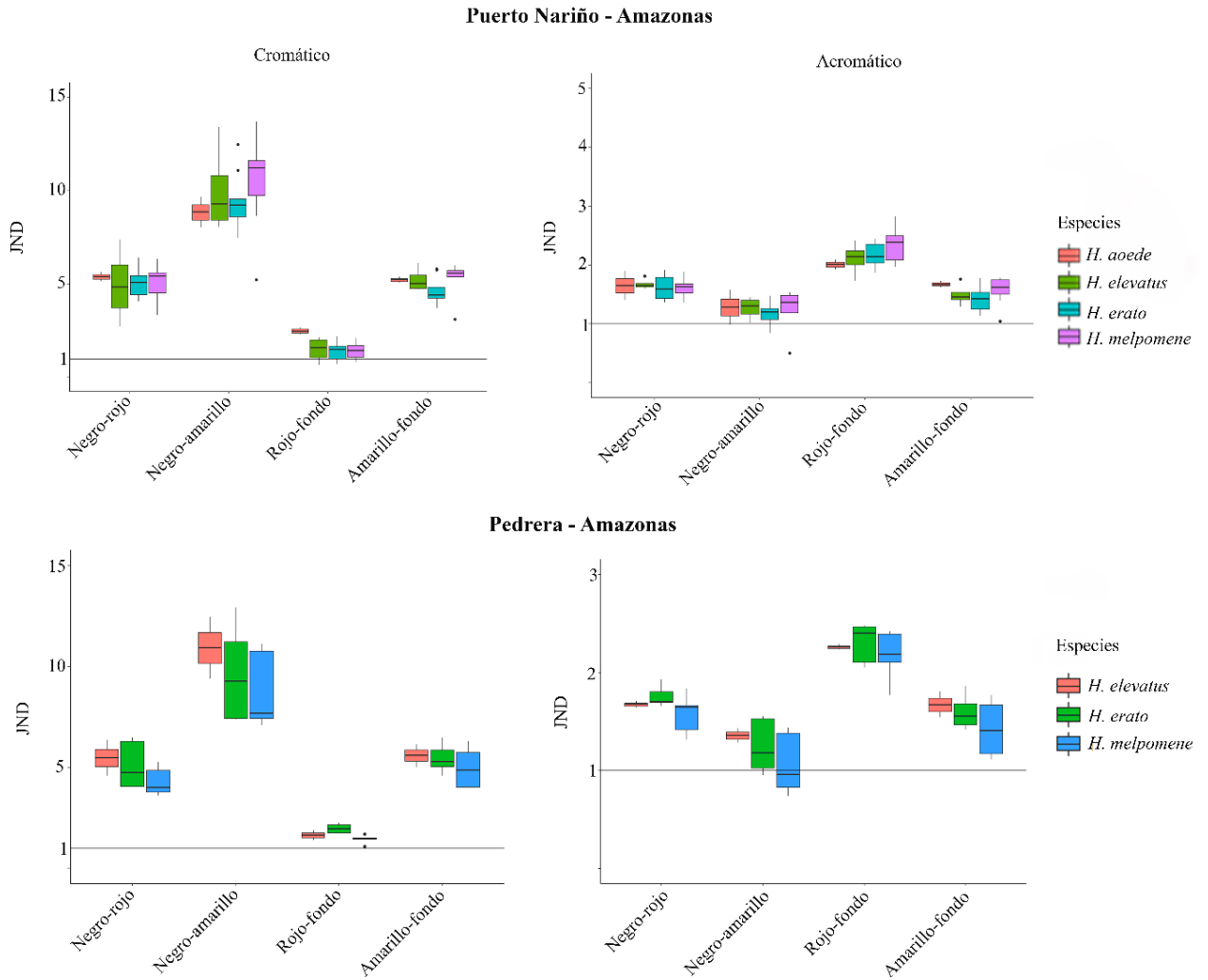


Figura S10. JNDs entre los parches de color para cada especie para los diferentes contrastes. Contraste cromáticos y acromáticos entre las diferentes bandas de color contra el negro y el fondo del bosque para el anillo *dennis-ray* en las diferentes localidades. Evaluados bajo el tipo de visión del ave VS, vista dorsal del ala y la luz ambiental claro pequeño.

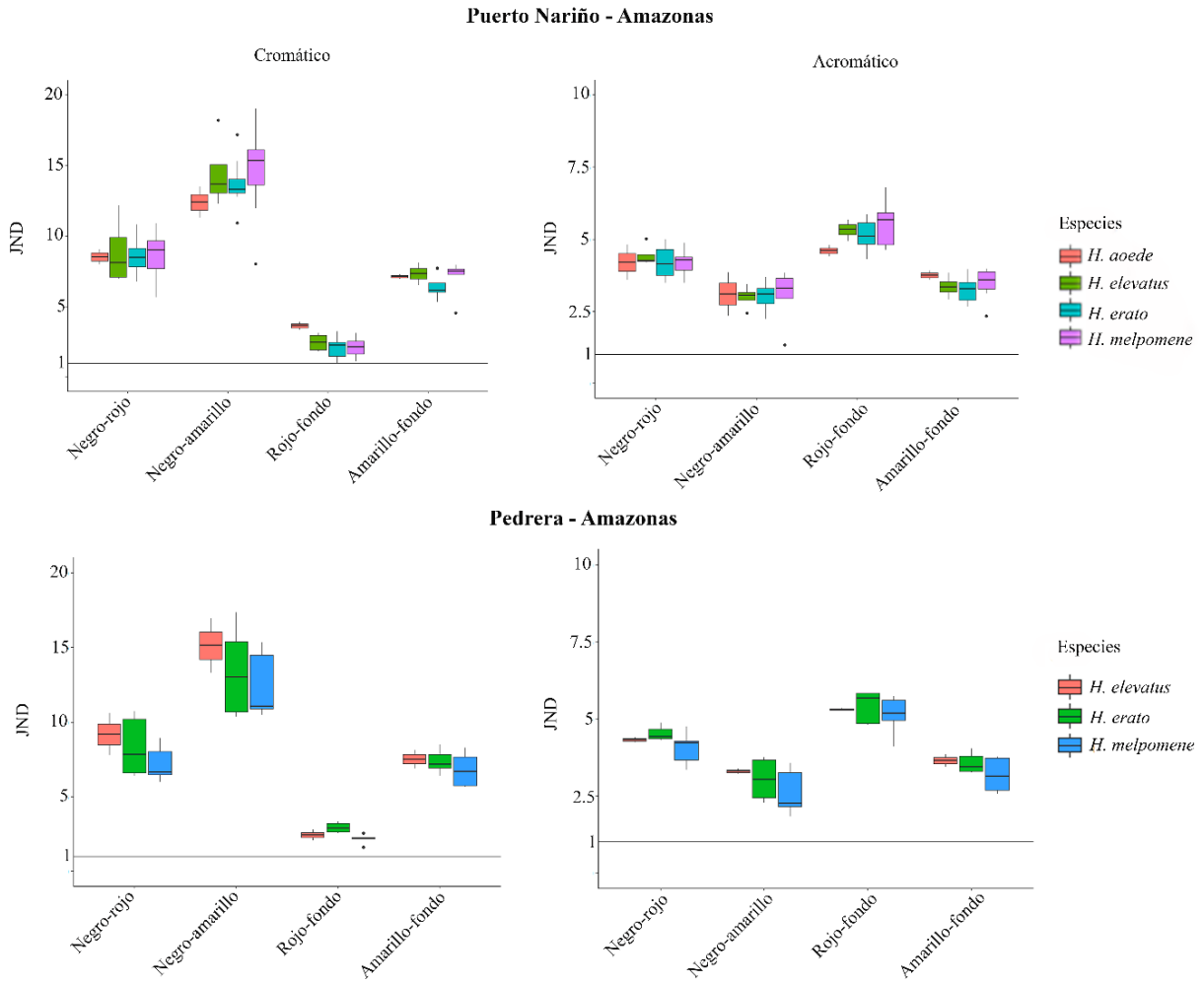


Figura S11. JNDs entre los parches de color para cada especie para los diferentes contrastes. Contraste cromáticos y acromáticos entre las diferentes bandas de color contra el negro y el fondo del bosque para el anillo *dennis-ray* en las diferentes localidades. Evaluados bajo el tipo de visión del ave VS, vista dorsal del ala y la luz ambiental claro grande.

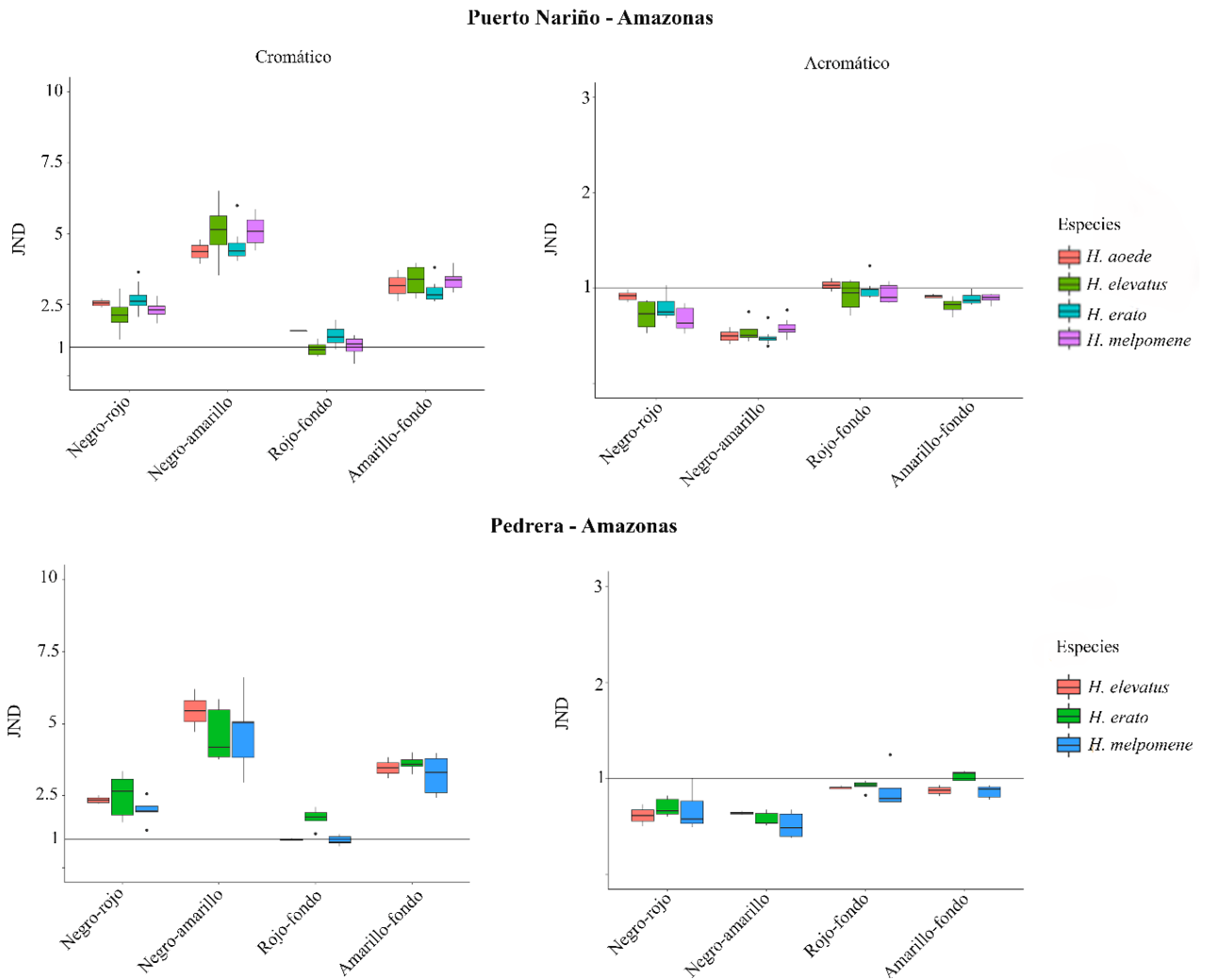


Figura S12. JNDs entre los parches de color para cada especie para los diferentes contrastes. Contraste cromáticos y acromáticos entre las diferentes bandas de color contra el negro y el fondo del bosque para el anillo *dennis-ray* en las diferentes localidades. Evaluados bajo el tipo de visión del ave VS, vista ventral del ala y la luz ambiental bosque.

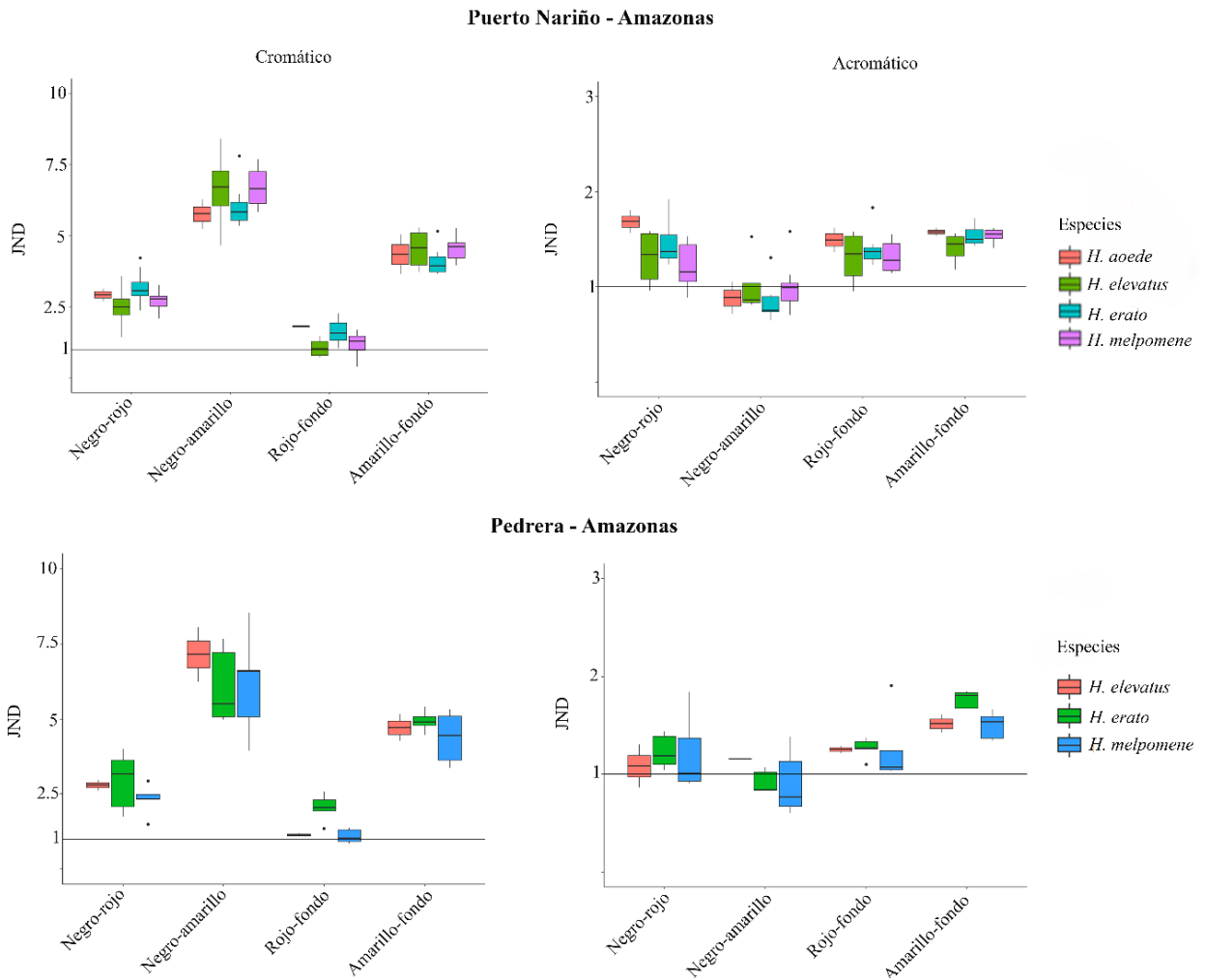


Figura S13. JNDs entre los parches de color para cada especie para los diferentes contrastes. Contraste cromáticos y acromáticos entre las diferentes bandas de color contra el negro y el fondo del bosque para el anillo *dennis-ray* en las diferentes localidades. Evaluados bajo el tipo de visión del ave VS, vista ventral del ala y la luz ambiental bosque en transición.

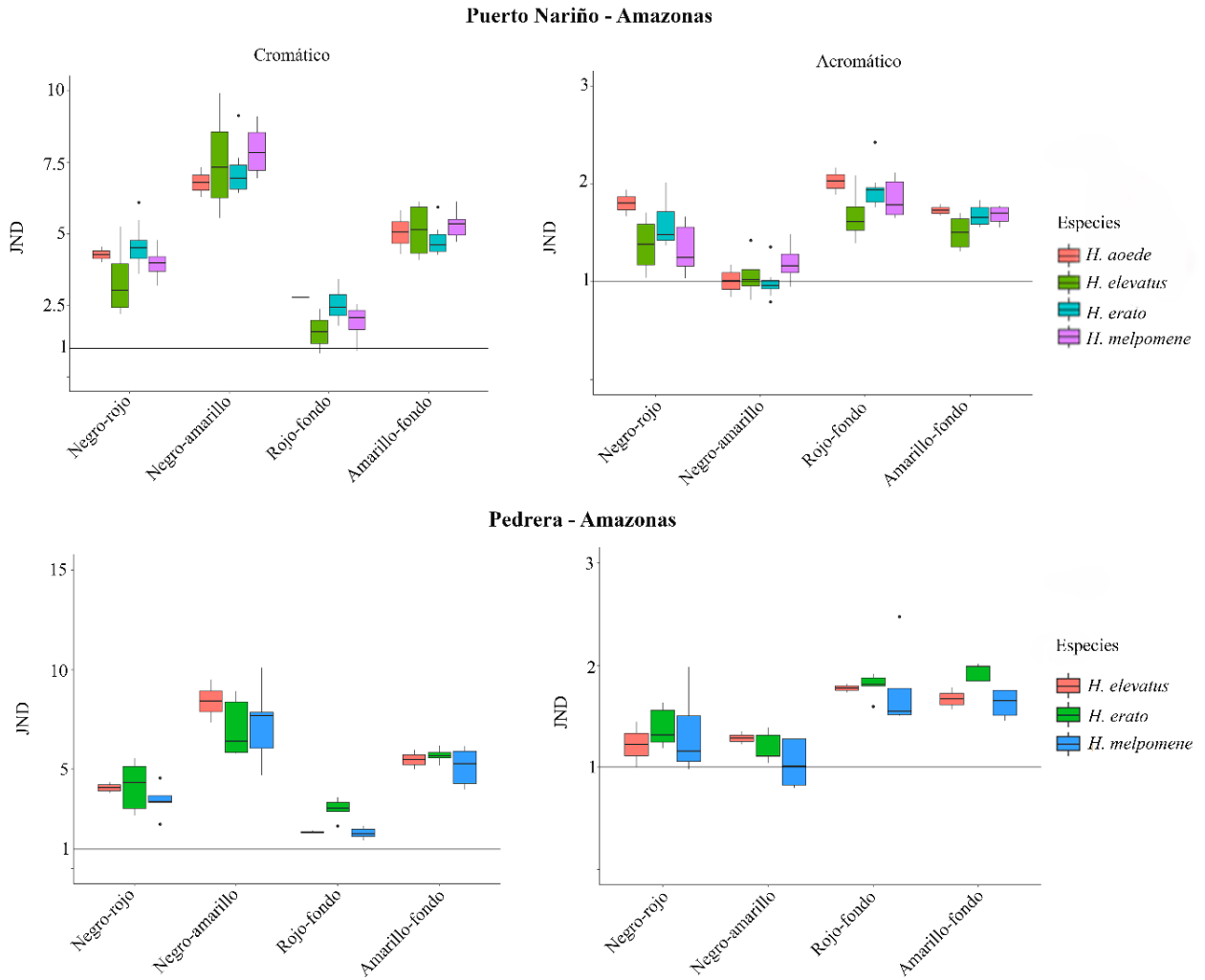


Figura S14. JNDs entre los parches de color para cada especie para los diferentes contrastes. Contraste cromáticos y acromáticos entre las diferentes bandas de color contra el negro y el fondo del bosque para el anillo *dennis-ray* en las diferentes localidades. Evaluados bajo el tipo de visión del ave VS, vista ventral del ala y la luz ambiental claro pequeño.

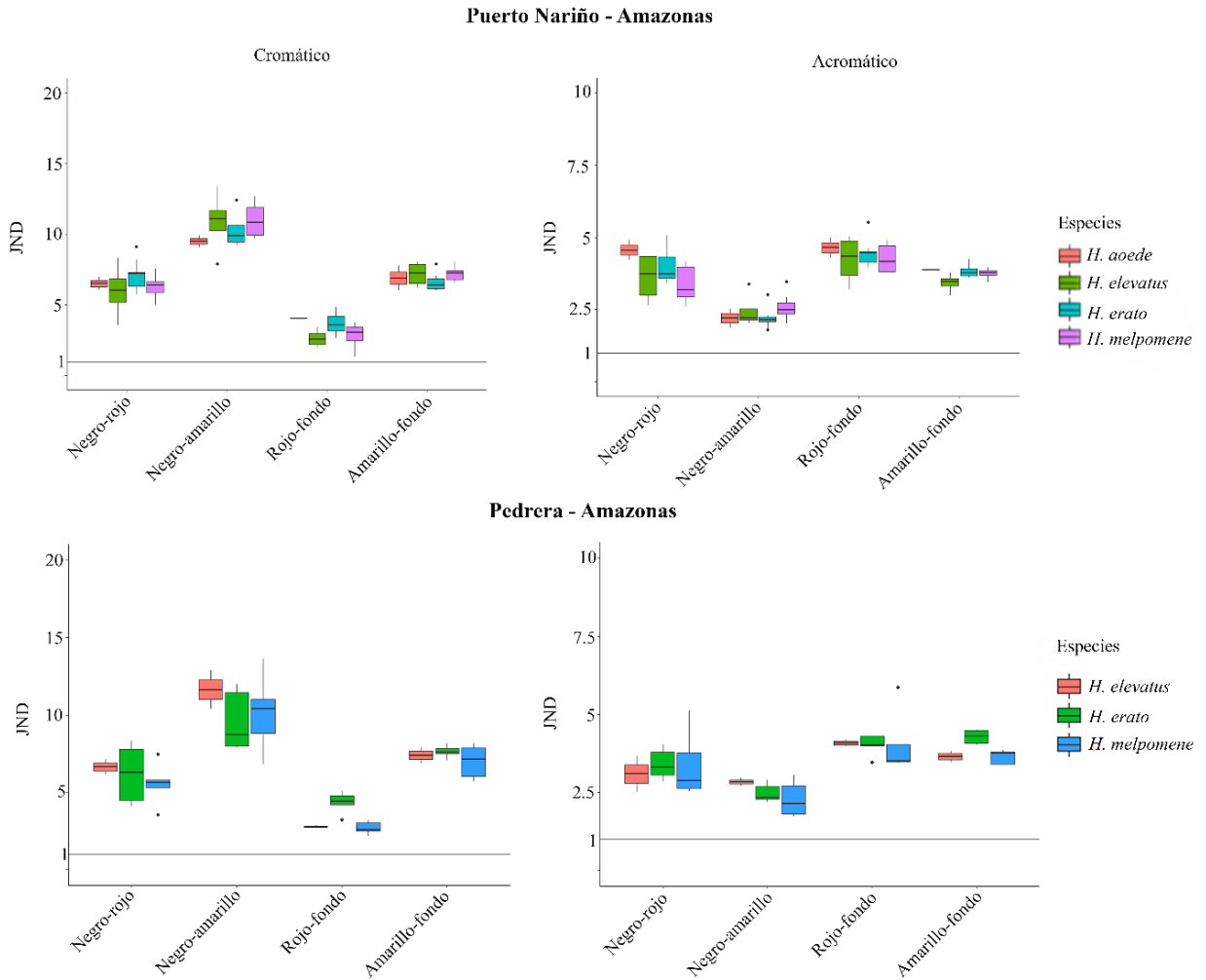


Figura S15. JNDs entre los parches de color para cada especie para los diferentes contrastes. Contraste cromáticos y acromáticos entre las diferentes bandas de color contra el negro y el fondo del bosque para el anillo *dennis-ray* en las diferentes localidades. Evaluados bajo el tipo de visión del ave VS, vista ventral del ala y la luz ambiental claro grande.

Postman

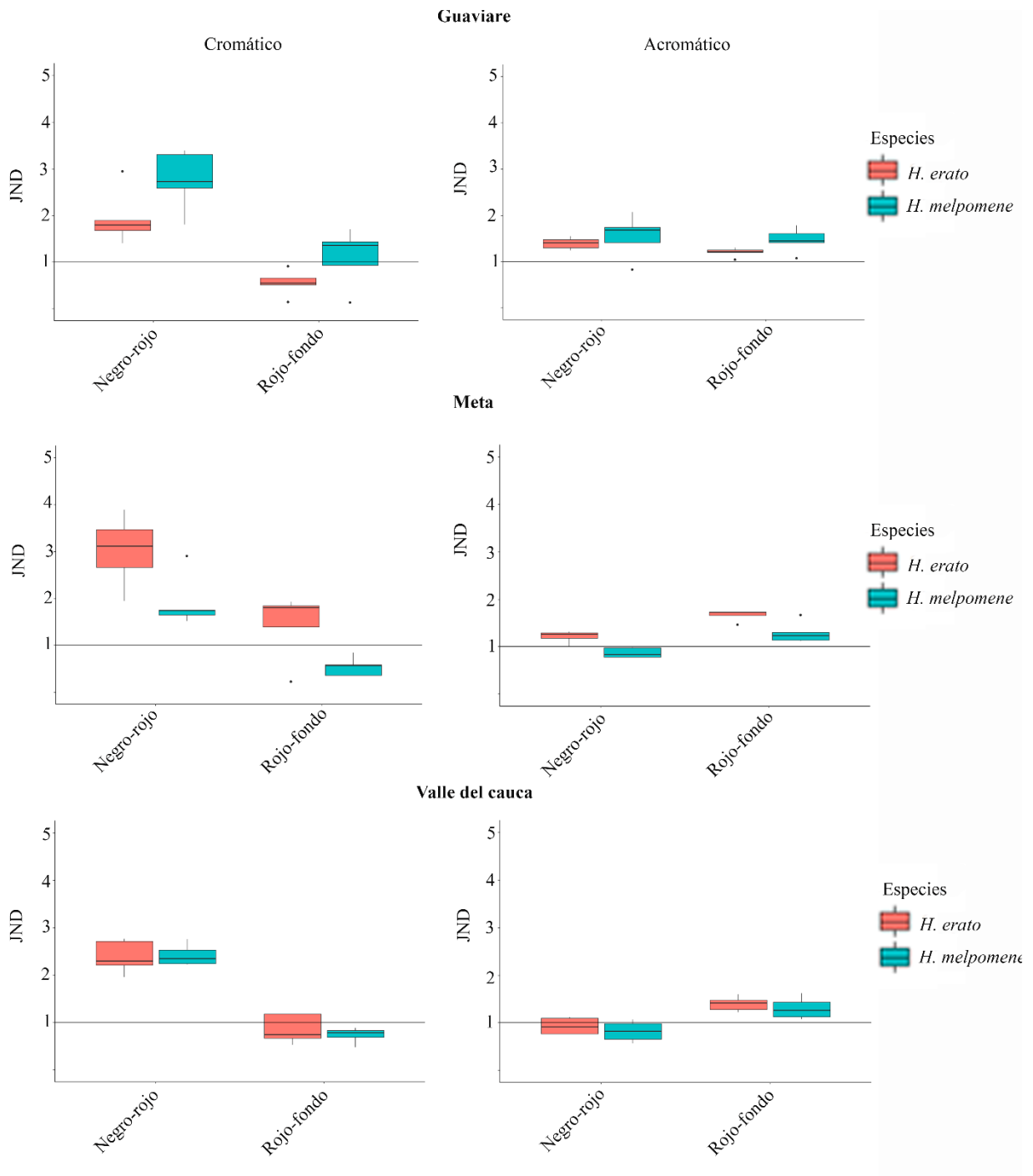


Figura S16. JNDs entre los parches de color para cada especie para los diferentes contrastes. Contraste cromáticos y acromáticos entre las diferentes bandas de color contra el negro y el fondo del bosque para el anillo *postman* en las diferentes localidades. Evaluados bajo el tipo de visión del ave UVS, vista dorsal del ala y la luz ambiental bosque.

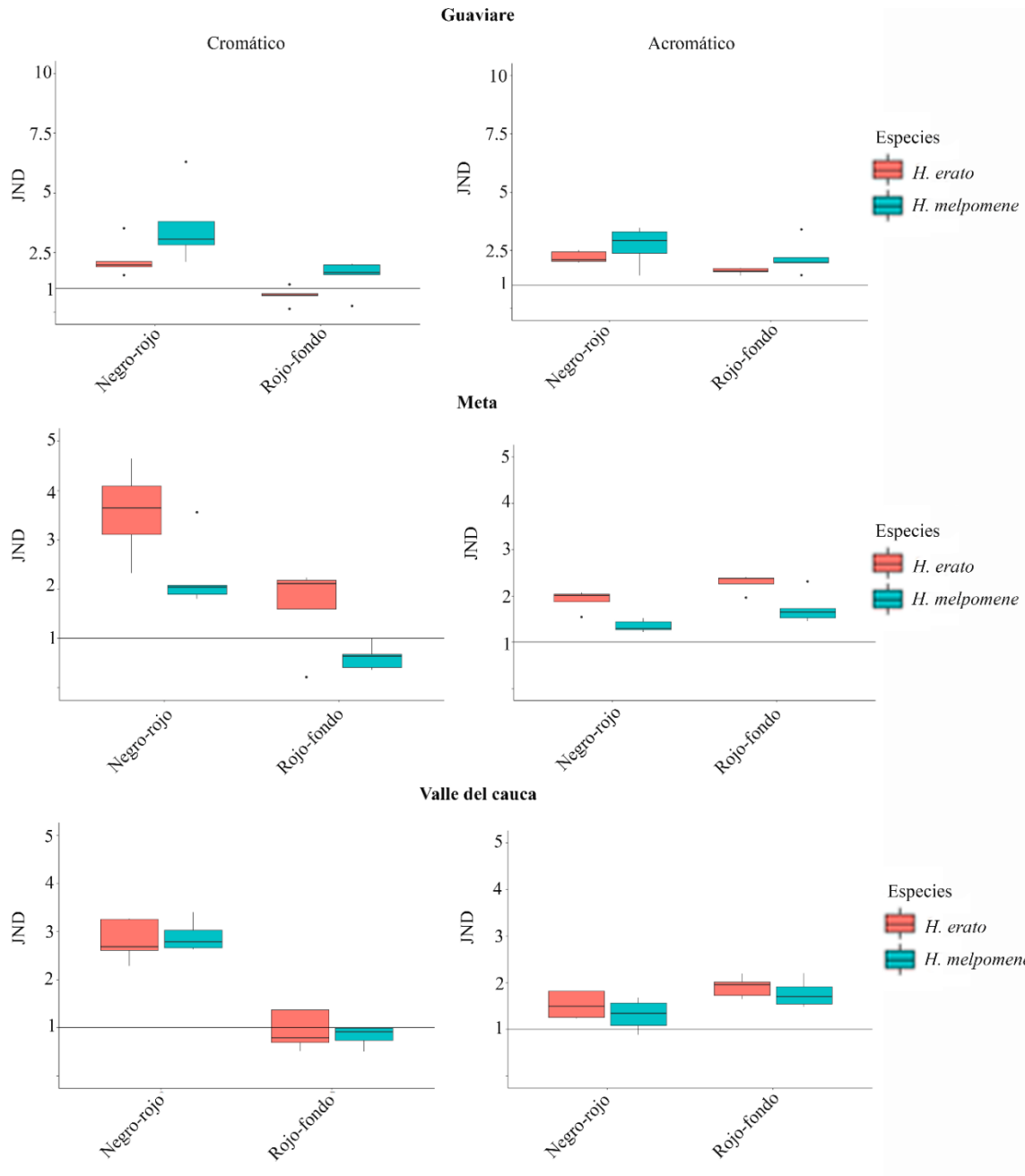


Figura S17. JNDs entre los parches de color para cada especie para los diferentes contrastes. Contraste cromáticos y acromáticos entre las diferentes bandas de color contra el negro y el fondo del bosque para el anillo *postman* en las diferentes localidades. Evaluados bajo el tipo de visión del ave UVS, vista dorsal del ala y la luz ambiental bosque en transición.

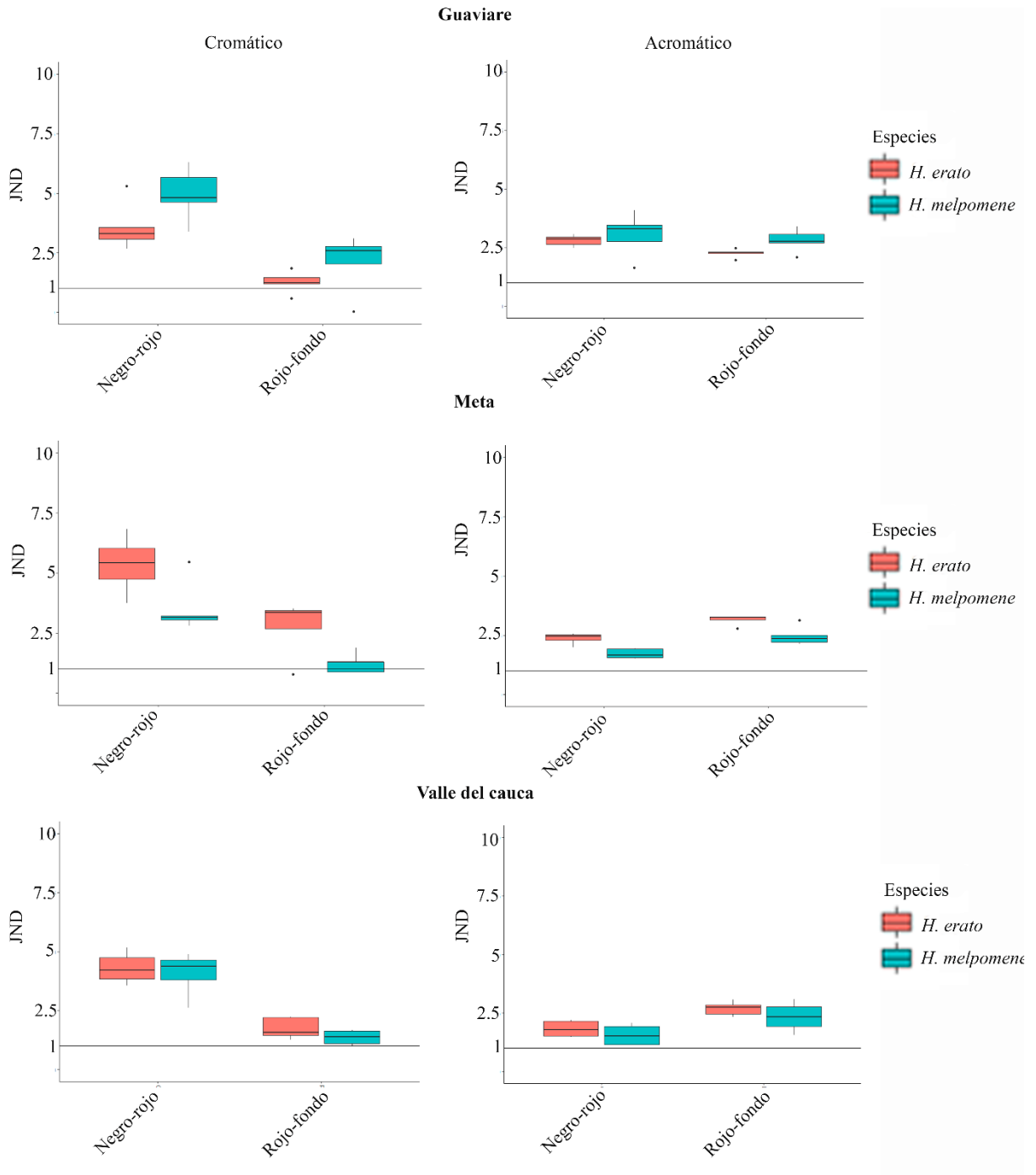


Figura S18. JNDs entre los parches de color para cada especie para los diferentes contrastes. Contraste cromáticos y acromáticos entre las diferentes bandas de color contra el negro y el fondo del bosque para el anillo *postman* en las diferentes localidades. Evaluados bajo el tipo de visión del ave UVS, vista dorsal del ala y la luz ambiental claro pequeño.

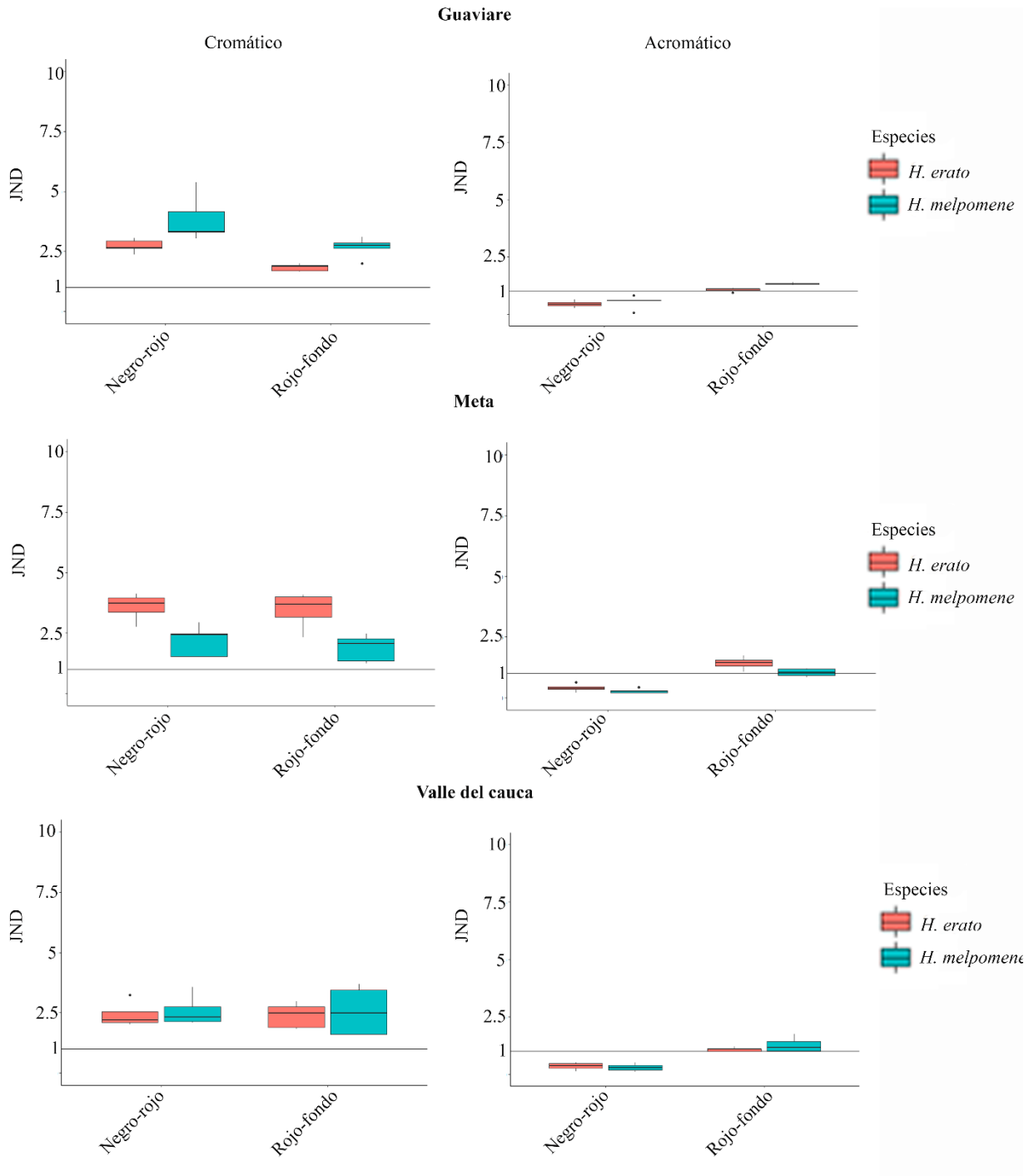


Figura S19. JNDs entre los parches de color para cada especie para los diferentes contrastes. Contraste cromáticos y acromáticos entre las diferentes bandas de color contra el negro y el fondo del bosque para el anillo *postman* en las diferentes localidades. Evaluados bajo el tipo de visión del ave UVS, vista ventral del ala y la luz ambiental bosque.

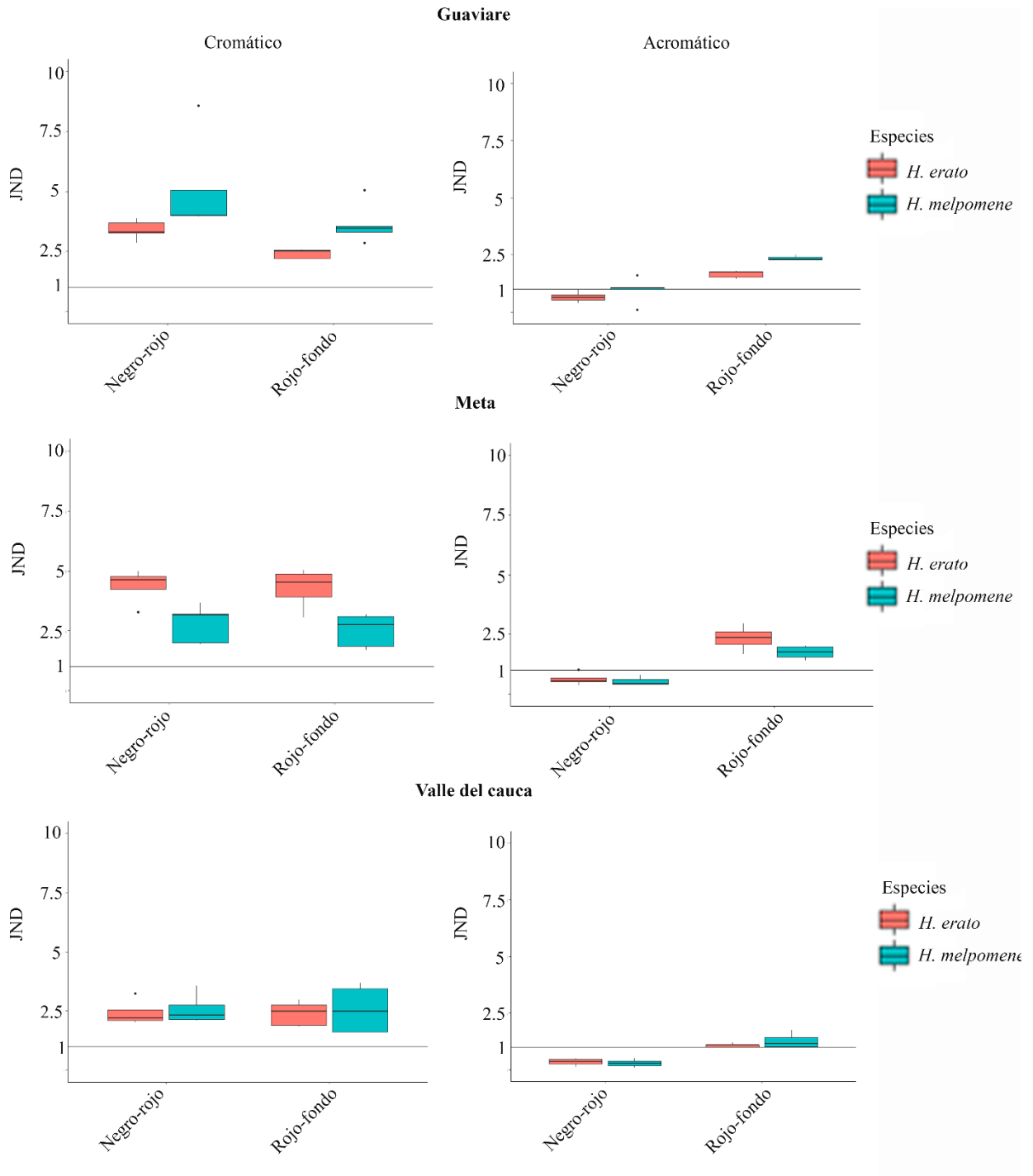


Figura S20. JNDs entre los parches de color para cada especie para los diferentes contrastes. Contraste cromáticos y acromáticos entre las diferentes bandas de color contra el negro y el fondo del bosque para el anillo *postman* en las diferentes localidades. Evaluados bajo el tipo de visión del ave UVS, vista ventral del ala y la luz ambiental bosque en transición.

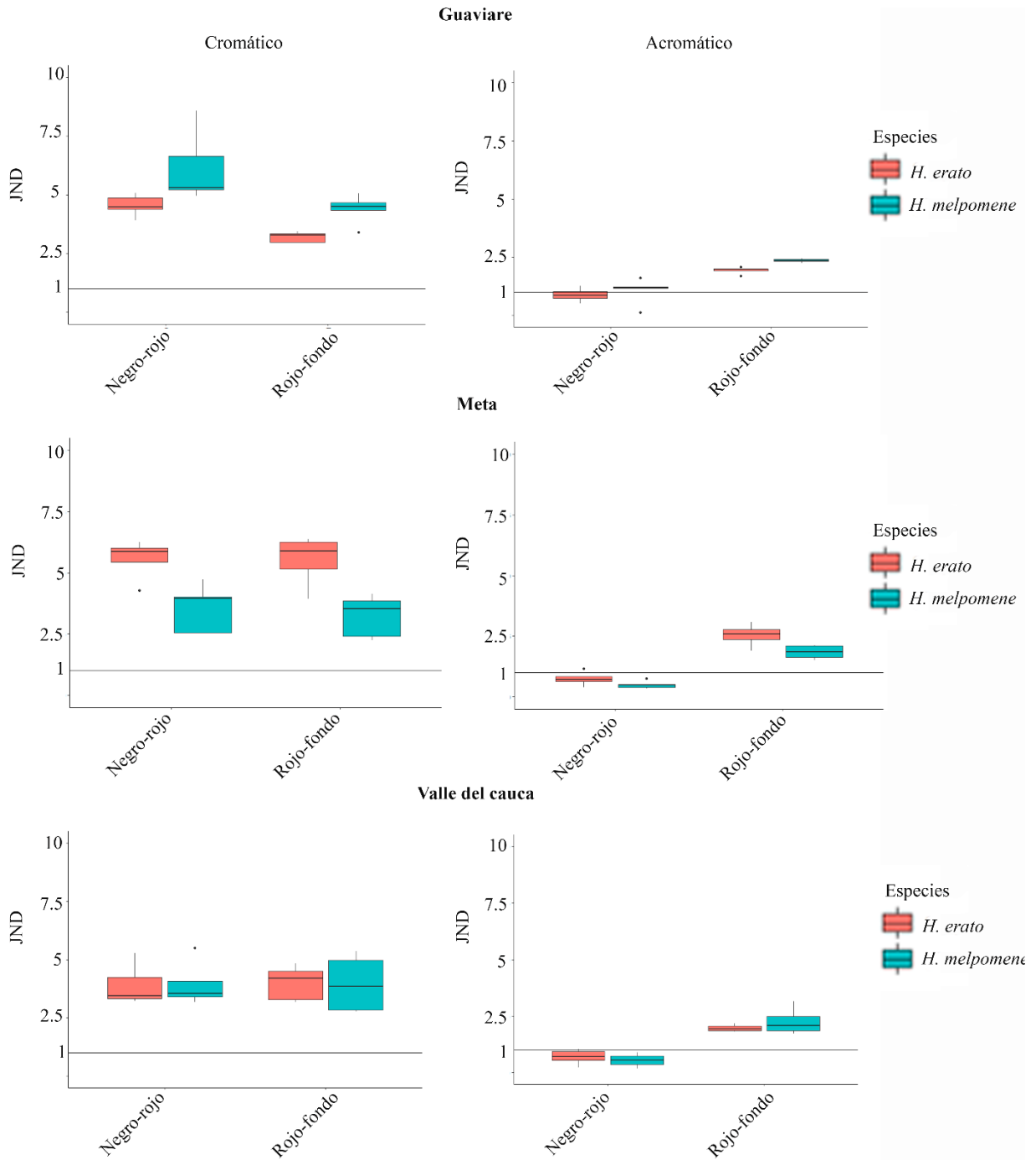


Figura S21. JNDs entre los parches de color para cada especie para los diferentes contrastes. Contraste cromáticos y acromáticos entre las diferentes bandas de color contra el negro y el fondo del bosque para el anillo *postman* en las diferentes localidades. Evaluados bajo el tipo de visión del ave UVS, vista ventral del ala y la luz ambiental claro pequeño.

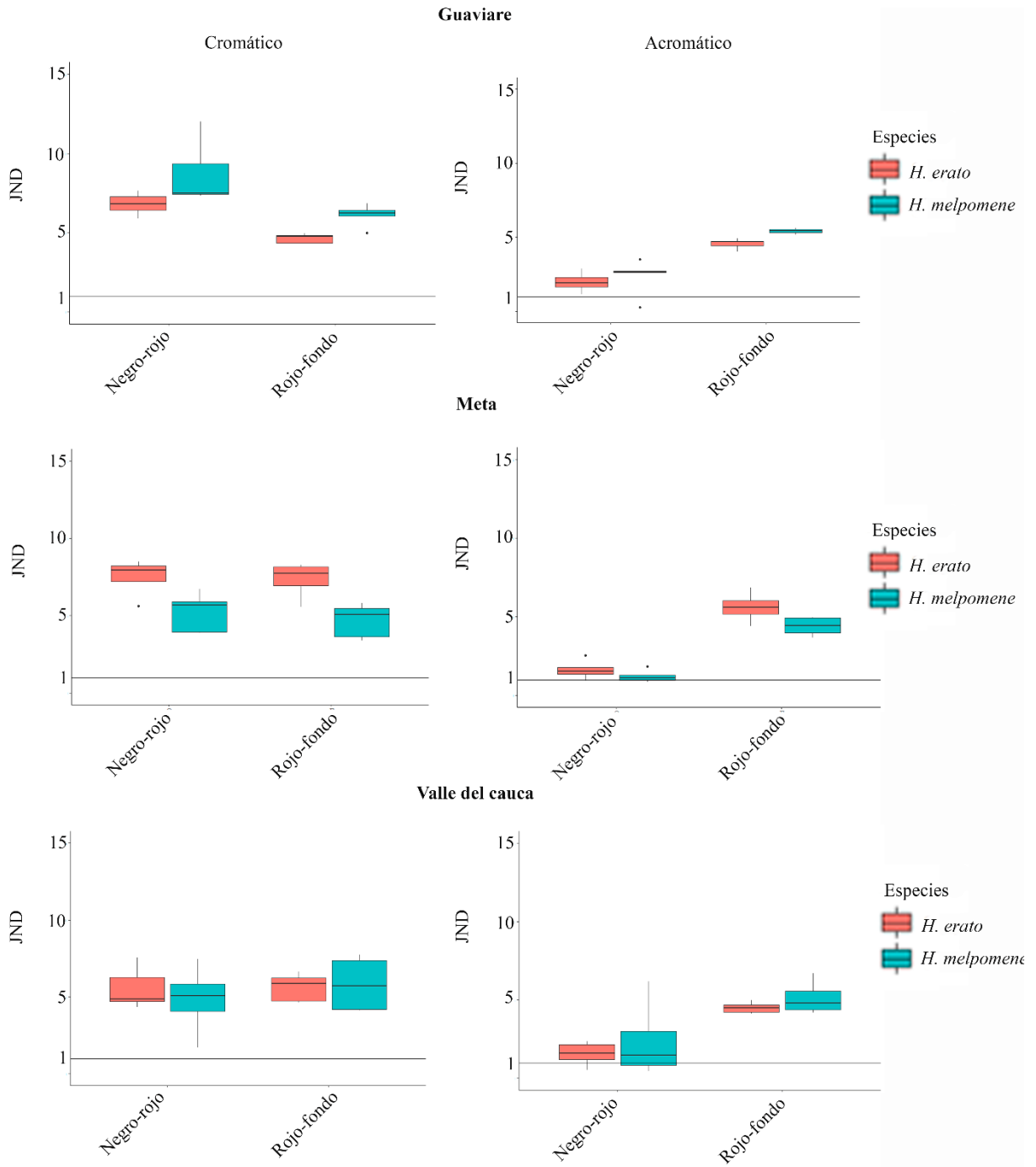


Figura S22. JNDs entre los parches de color para cada especie para los diferentes contrastes. Contraste cromáticos y acromáticos entre las diferentes bandas de color contra el negro y el fondo del bosque para el anillo *postman* en las diferentes localidades. Evaluados bajo el tipo de visión del ave UVS, vista ventral del ala y la luz ambiental claro grande.

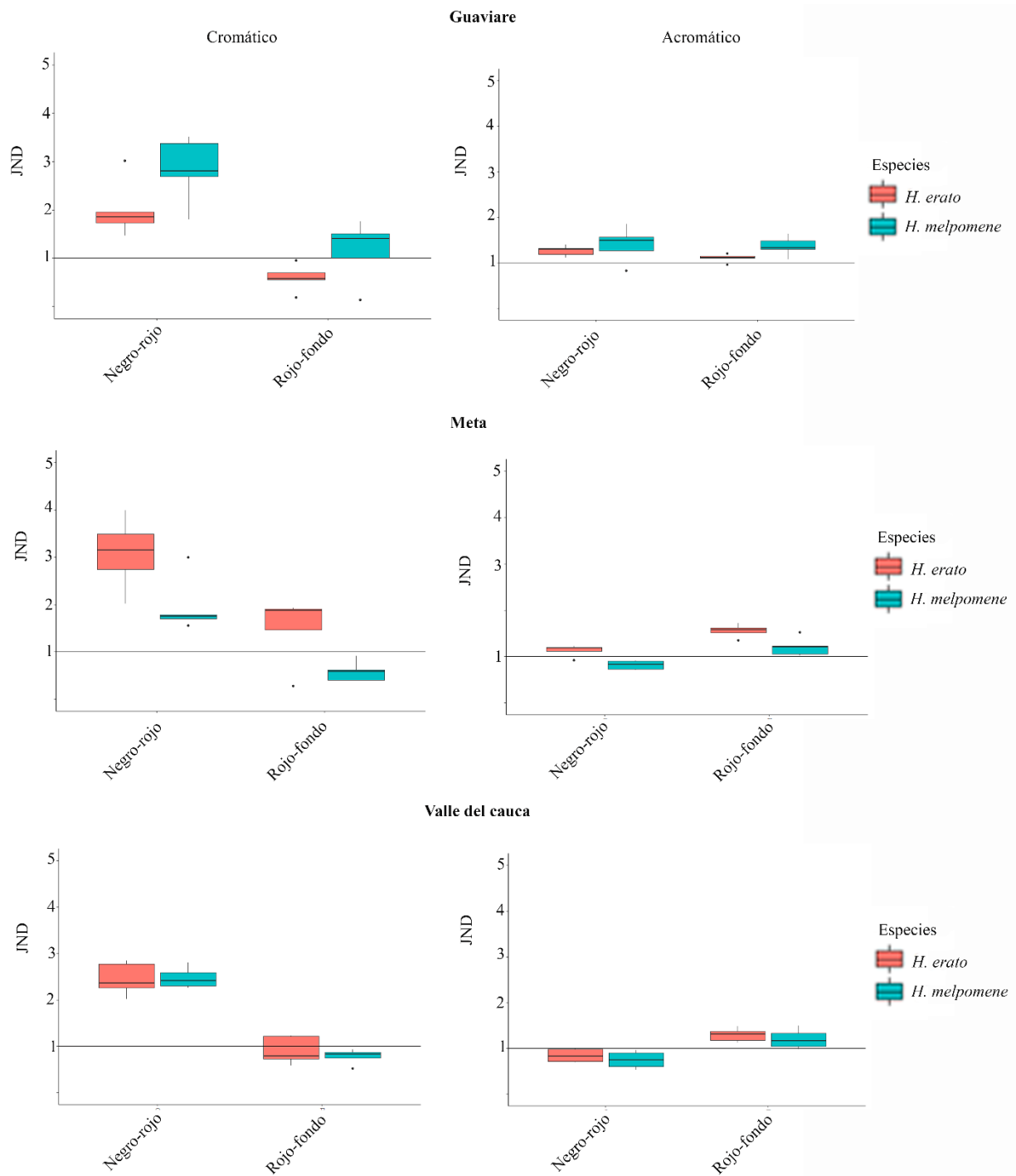


Figura S23. JNDs entre los parches de color para cada especie para los diferentes contrastes. Contraste cromáticos y acromáticos entre las diferentes bandas de color contra el negro y el fondo del bosque para el anillo *postman* en las diferentes localidades. Evaluados bajo el tipo de visión del ave VS, vista dorsal del ala y la luz ambiental bosque.

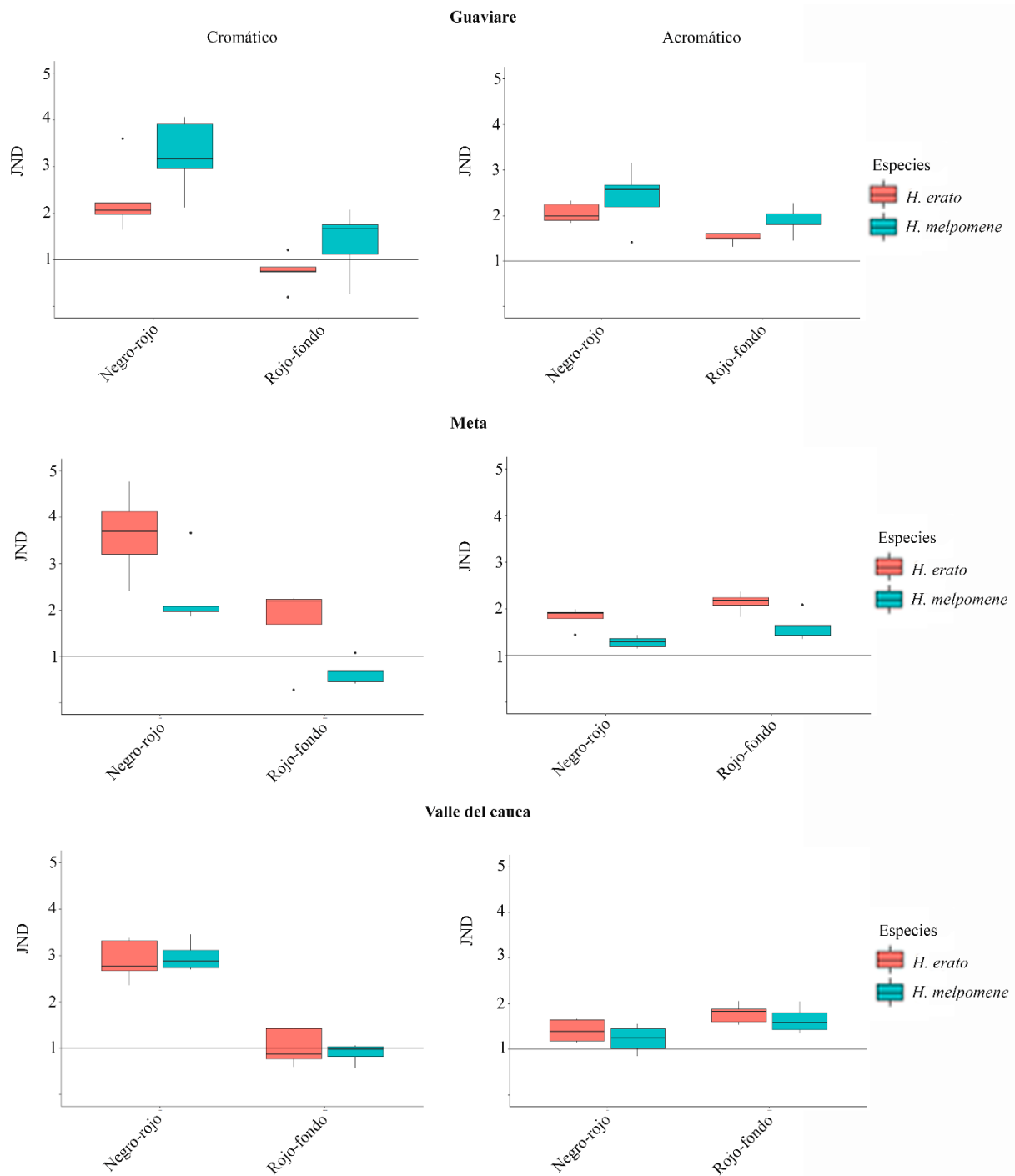


Figura S24. JNDs entre los parches de color para cada especie para los diferentes contrastes. Contraste cromáticos y acromáticos entre las diferentes bandas de color contra el negro y el fondo del bosque para el anillo *postman* en las diferentes localidades. Evaluados bajo el tipo de visión del ave VS, vista dorsal del ala y la luz ambiental bosque en transición.

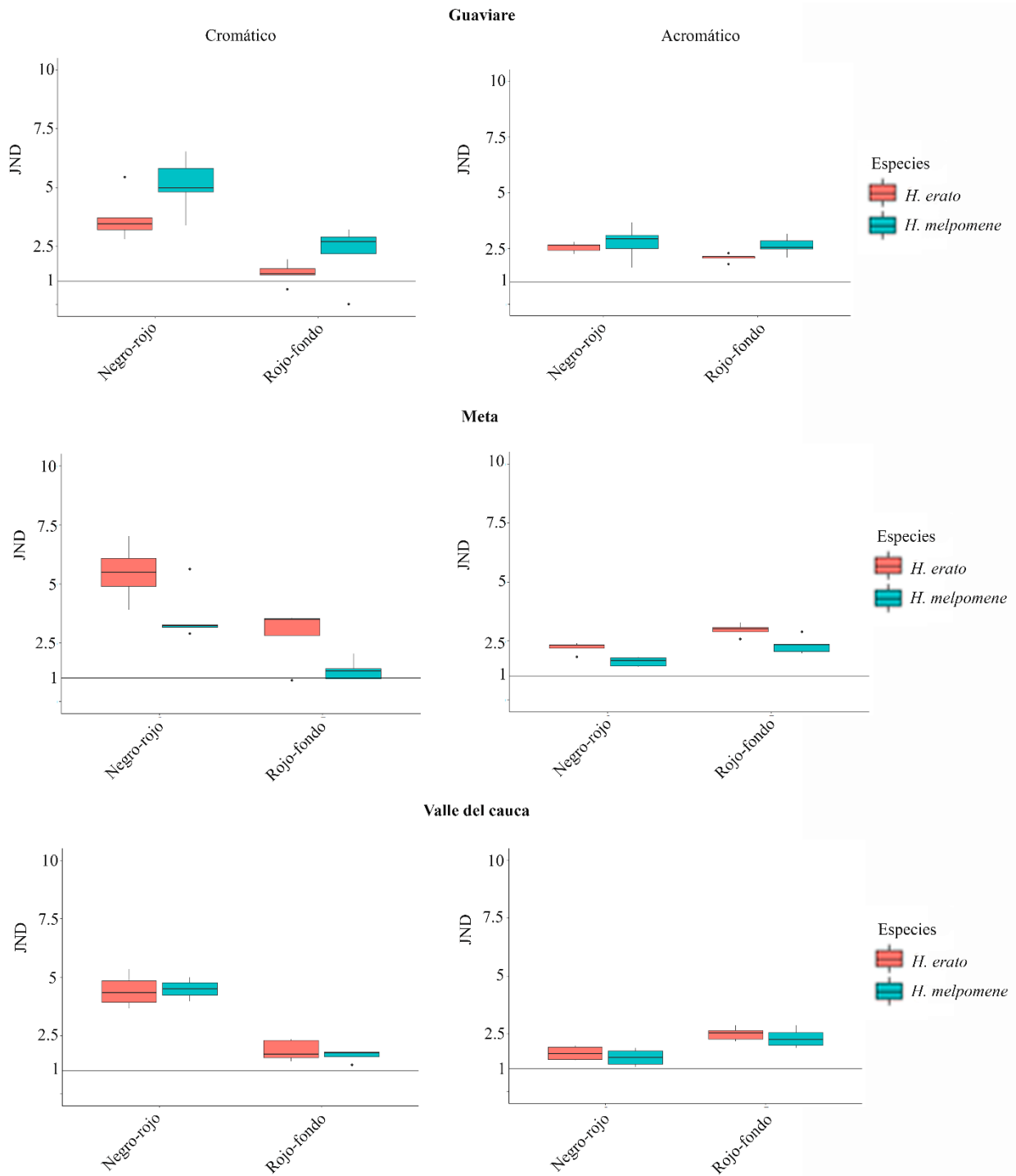


Figura S25. JNDs entre los parches de color para cada especie para los diferentes contrastes. Contraste cromáticos y acromáticos entre las diferentes bandas de color contra el negro y el fondo del bosque para el anillo *postman* en las diferentes localidades. Evaluados bajo el tipo de visión del ave VS, vista dorsal del ala y la luz ambiental claro pequeño.

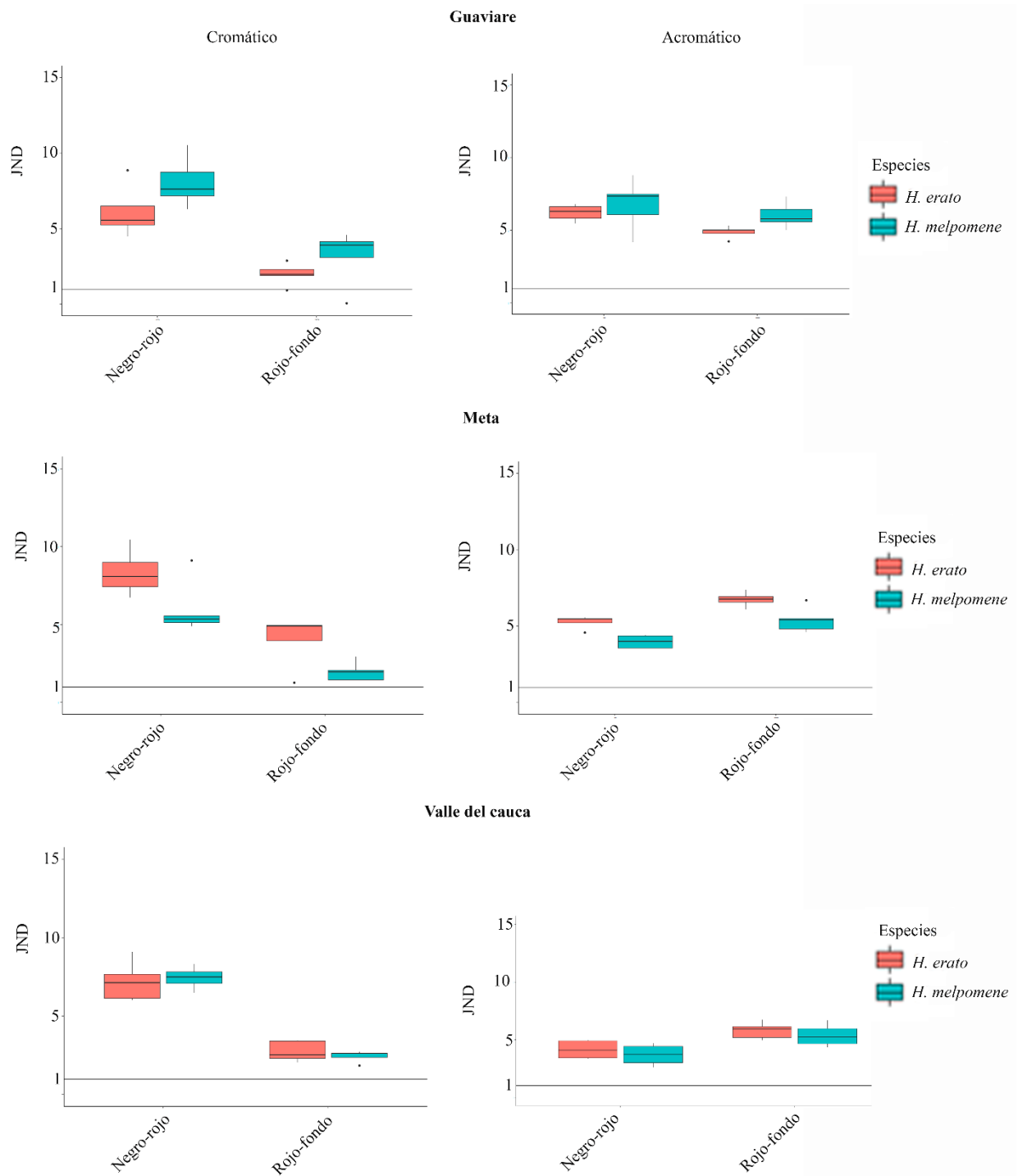


Figura S26. JNDs entre los parches de color para cada especie para los diferentes contrastes. Contraste cromáticos y acromáticos entre las diferentes bandas de color contra el negro y el fondo del bosque para el anillo *postman* en las diferentes localidades. Evaluados bajo el tipo de visión del ave VS, vista dorsal del ala y la luz ambiental claro grande.

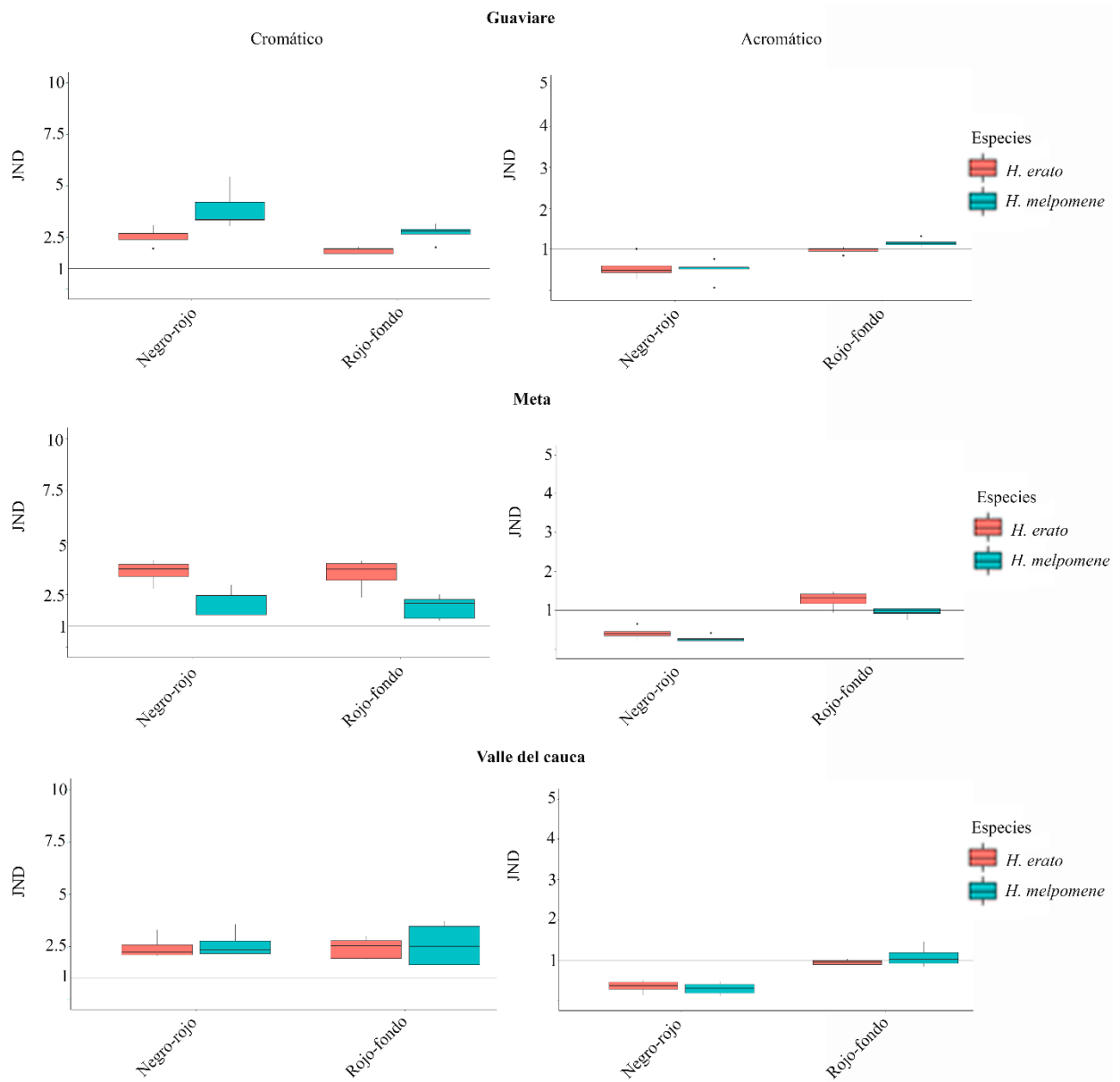


Figura S27. JNDs entre los parches de color para cada especie para los diferentes contrastes. Contraste cromáticos y acromáticos entre las diferentes bandas de color contra el negro y el fondo del bosque para el anillo *postman* en las diferentes localidades. Evaluados bajo el tipo de visión del ave VS, vista ventral del ala y la luz ambiental bosque.

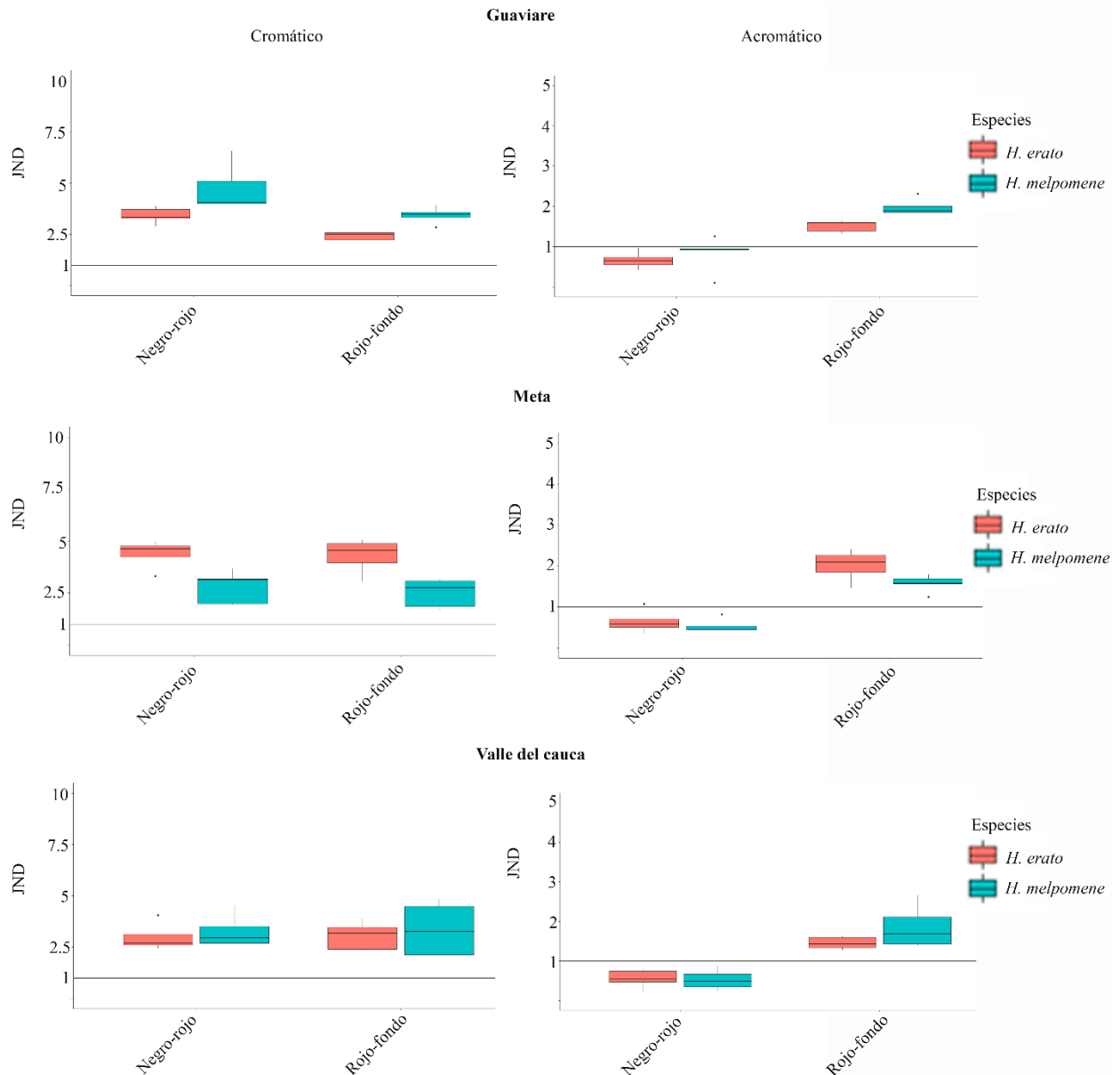


Figura S28. JNDs entre los parches de color para cada especie para los diferentes contrastes. Contraste cromáticos y acromáticos entre las diferentes bandas de color contra el negro y el fondo del bosque para el anillo *postman* en las diferentes localidades. Evaluados bajo el tipo de visión del ave VS, vista ventral del ala y la luz ambiental bosque en transición.

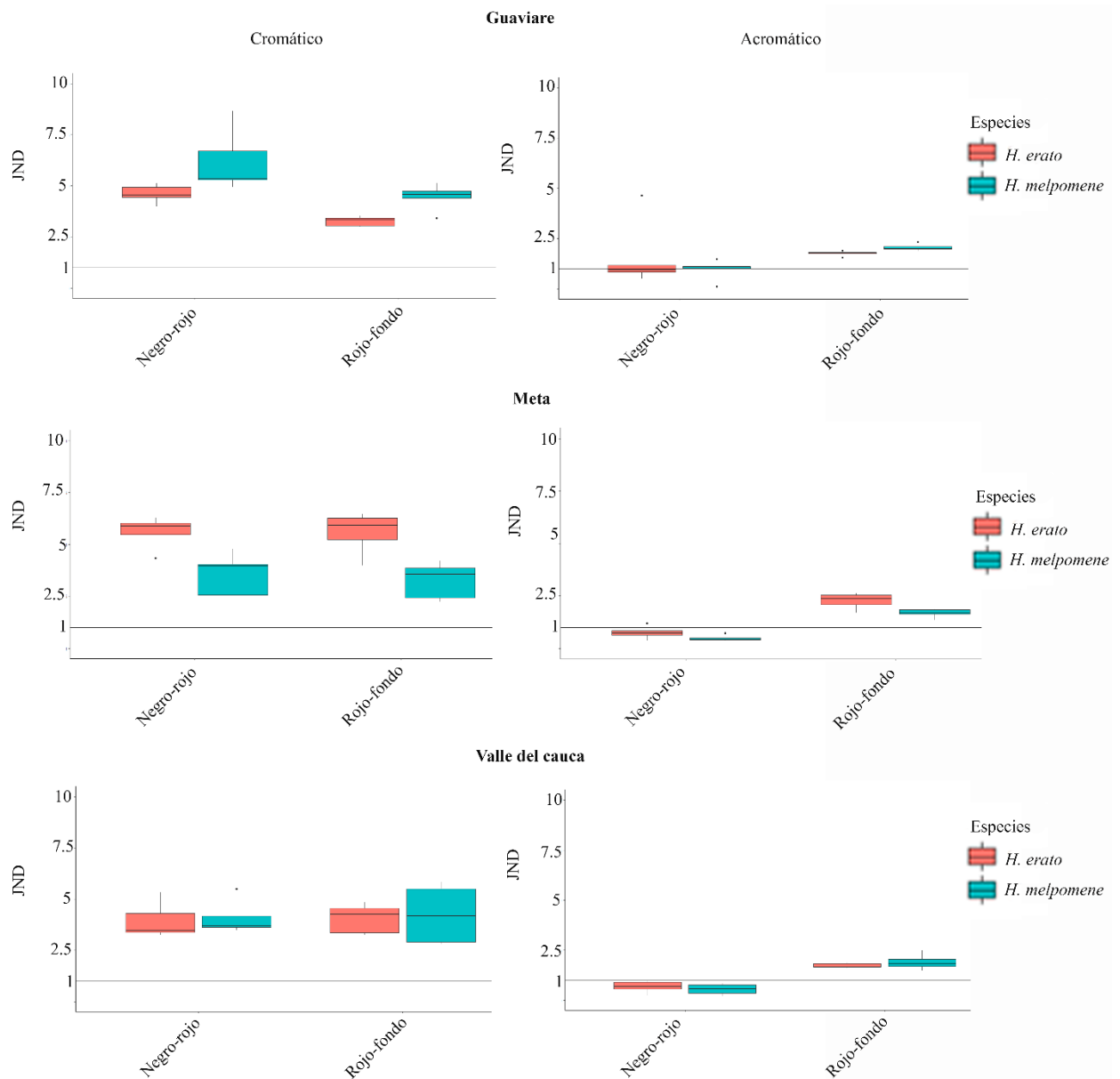


Figura S29. JNDs entre los parches de color para cada especie para los diferentes contrastes. Contraste cromáticos y acromáticos entre las diferentes bandas de color contra el negro y el fondo del bosque para el anillo *postman* en las diferentes localidades. Evaluados bajo el tipo de visión del ave VS, vista ventral del ala y la luz ambiental claro pequeño.

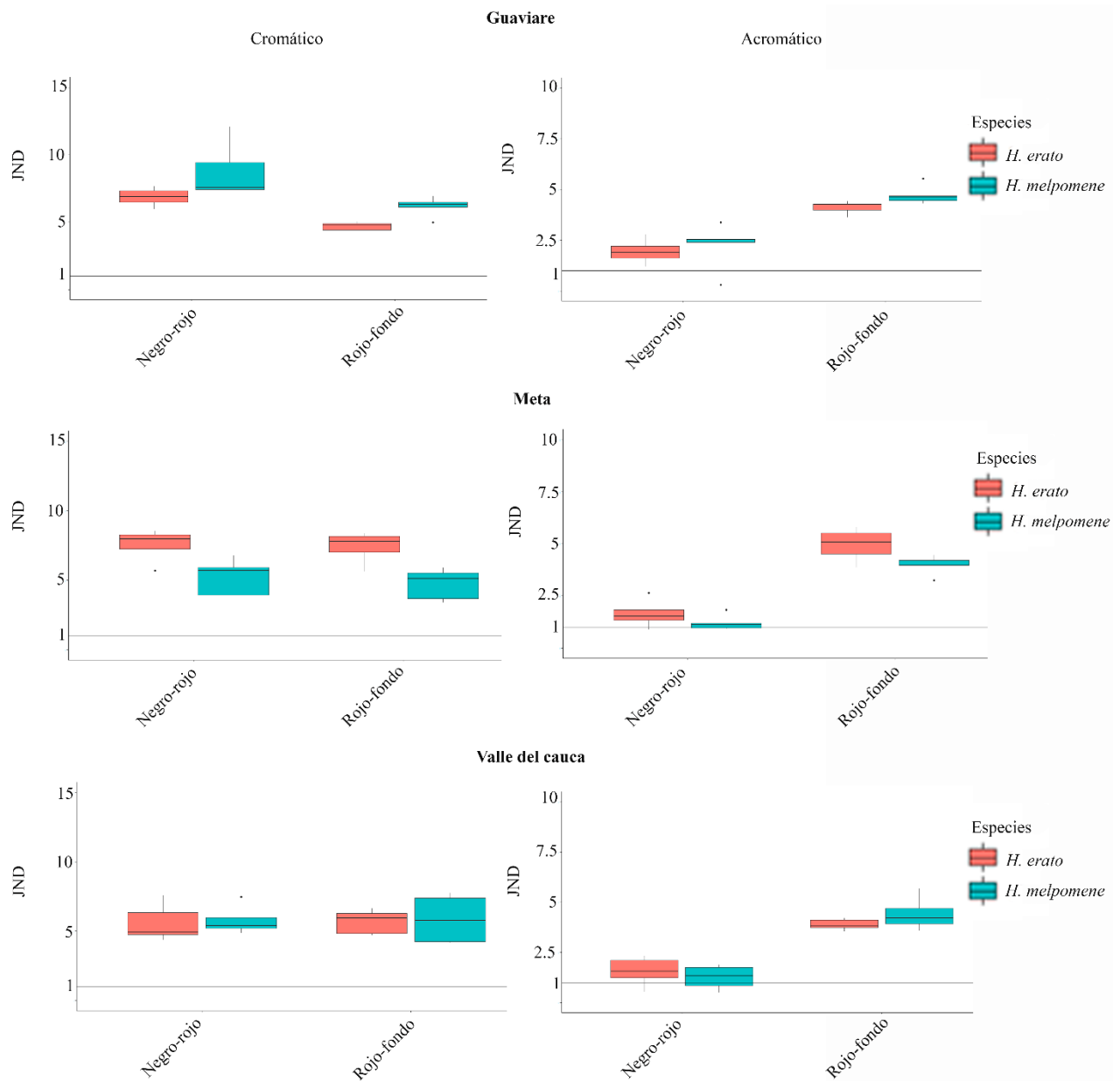


Figura S30. JNDs entre los parches de color para cada especie para los diferentes contrastes. Contraste cromáticos y acromáticos entre las diferentes bandas de color contra el negro y el fondo del bosque para el anillo *postman* en las diferentes localidades. Evaluados bajo el tipo de visión del ave VS, vista ventral del ala y la luz ambiental claro grande.

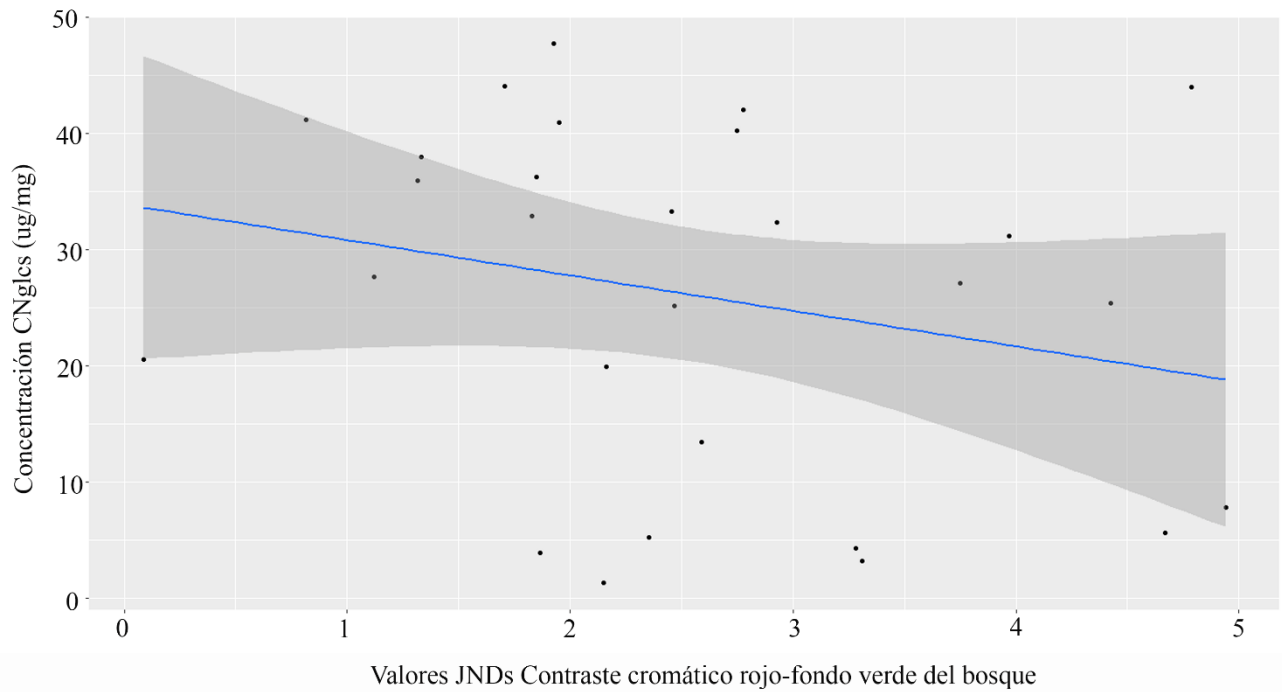


Figura S31. Comportamiento y visualización de la no correlación entre coloración-toxicidad para el anillo *postman*. A) Eje X: Valores JNDs para contraste cromático rojo contra el fondo verde del bosque, evaluado bajo el tipo de visión aviar UVS, vista dorsal del ala y luz ambiental claro grande para el anillo *postman*. Eje Y: Concentración total de CNglcs por cada individuo perteneciente al anillo *postman*.

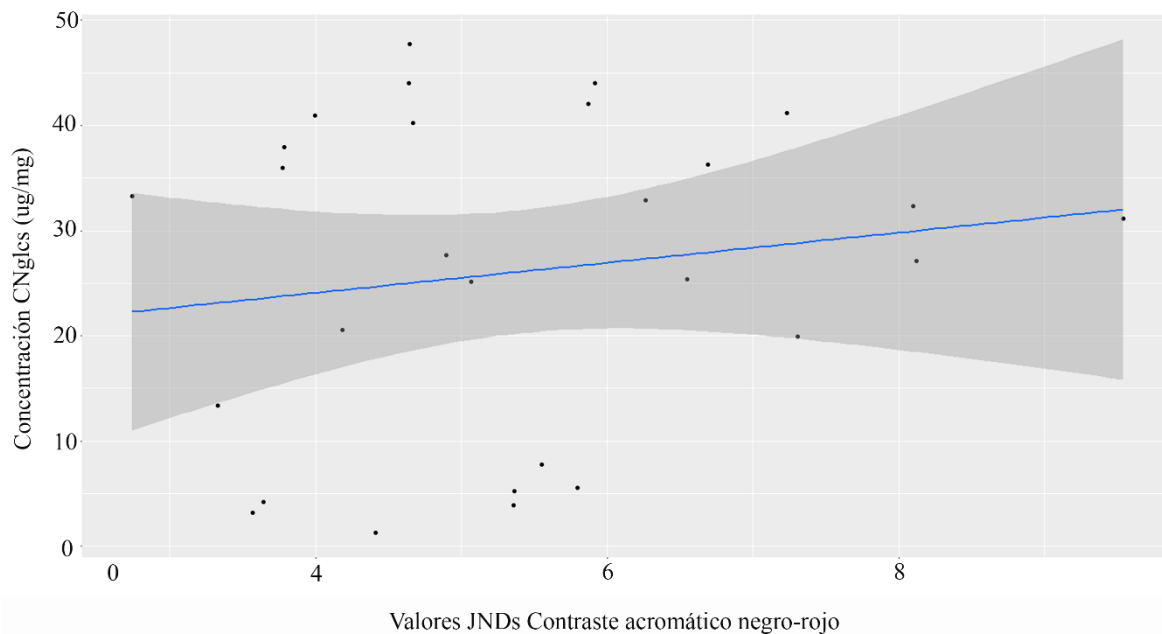


Figura S32. Comportamiento y visualización de la no correlación entre coloración-toxicidad para el anillo *postman*. A) Eje X: Valores JNDs para contraste acromático negro interno del ala contra rojo, evaluado bajo el tipo de visión aviar UVS, vista dorsal del ala y luz ambiental claro grande para el anillo *postman*. Eje Y: Concentración total de CNglcs por cada individuo perteneciente al anillo *postman*.

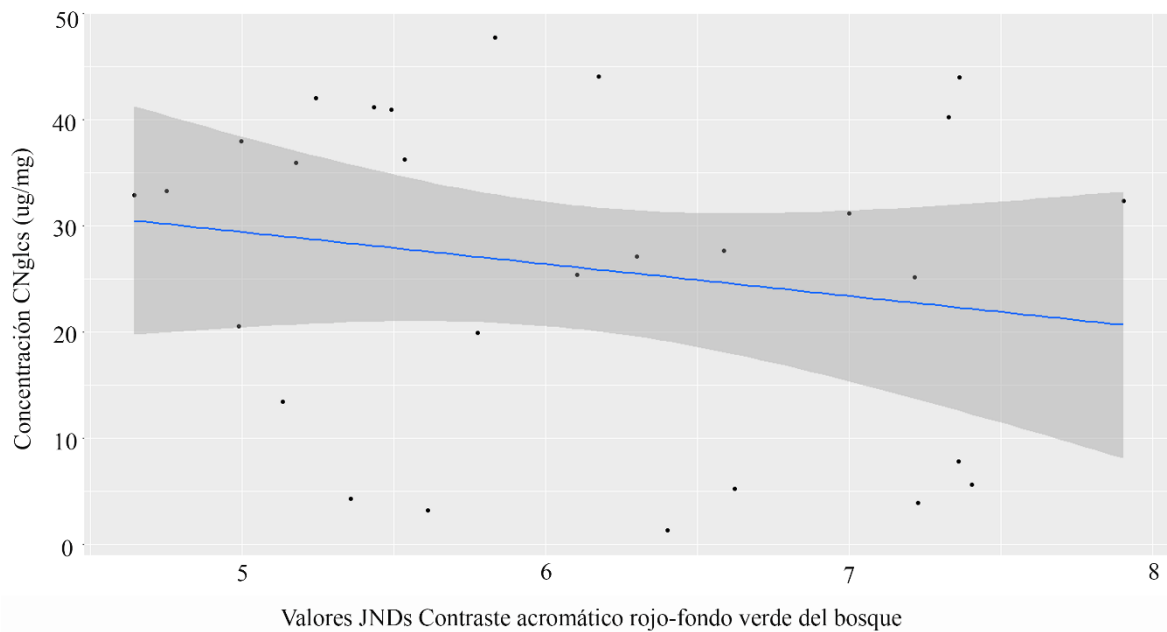


Figura S33. Comportamiento y visualización de la no correlación entre coloración-toxicidad para el anillo *postman*. A) Eje X: Valores JNDs para contraste acromático rojo contra fondo verde del bosque, evaluado bajo el tipo de visión aviar UVS, vista dorsal del ala y luz ambiental claro grande para el anillo *postman*. Eje Y: Concentración total de CNglcs por cada individuo perteneciente al anillo *postman*.

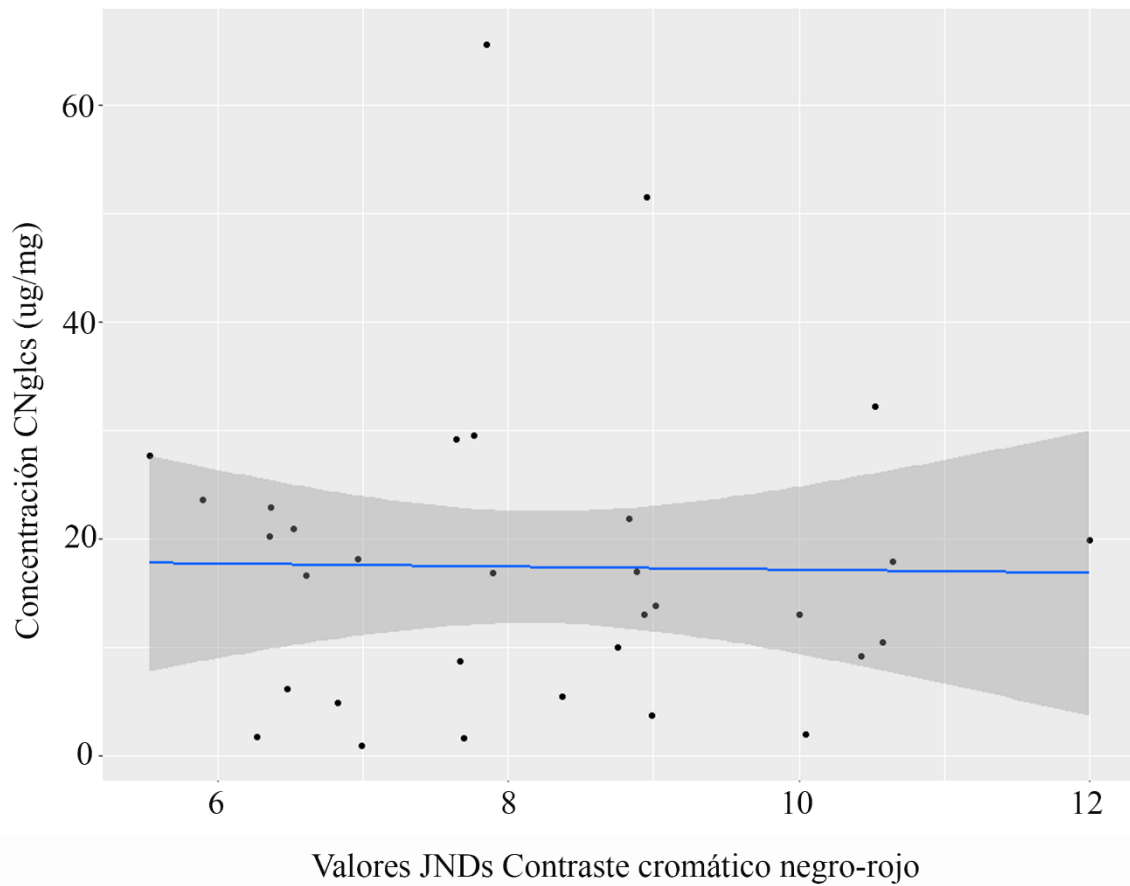


Figura S34. Comportamiento y visualización de la no correlación entre coloración-toxicidad para el anillo *dennis-ray*. A) Eje X: Valores JNDs para contraste cromático negro interno del ala contra rojo, evaluado bajo el tipo de visión aviar UVS, vista dorsal del ala y luz ambiental claro grande para el anillo *dennis-ray*. Eje Y: Concentración total de CNGlcs por cada individuo perteneciente al anillo *dennis-ray*

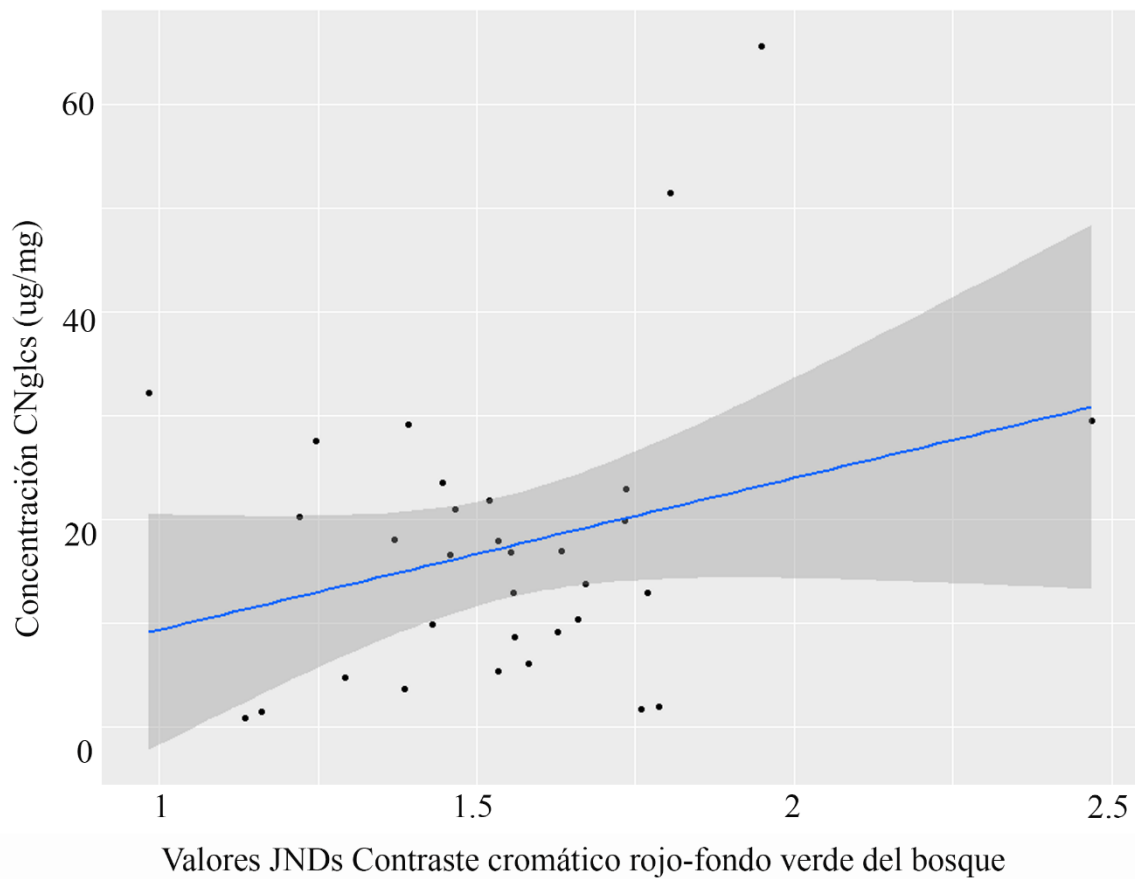
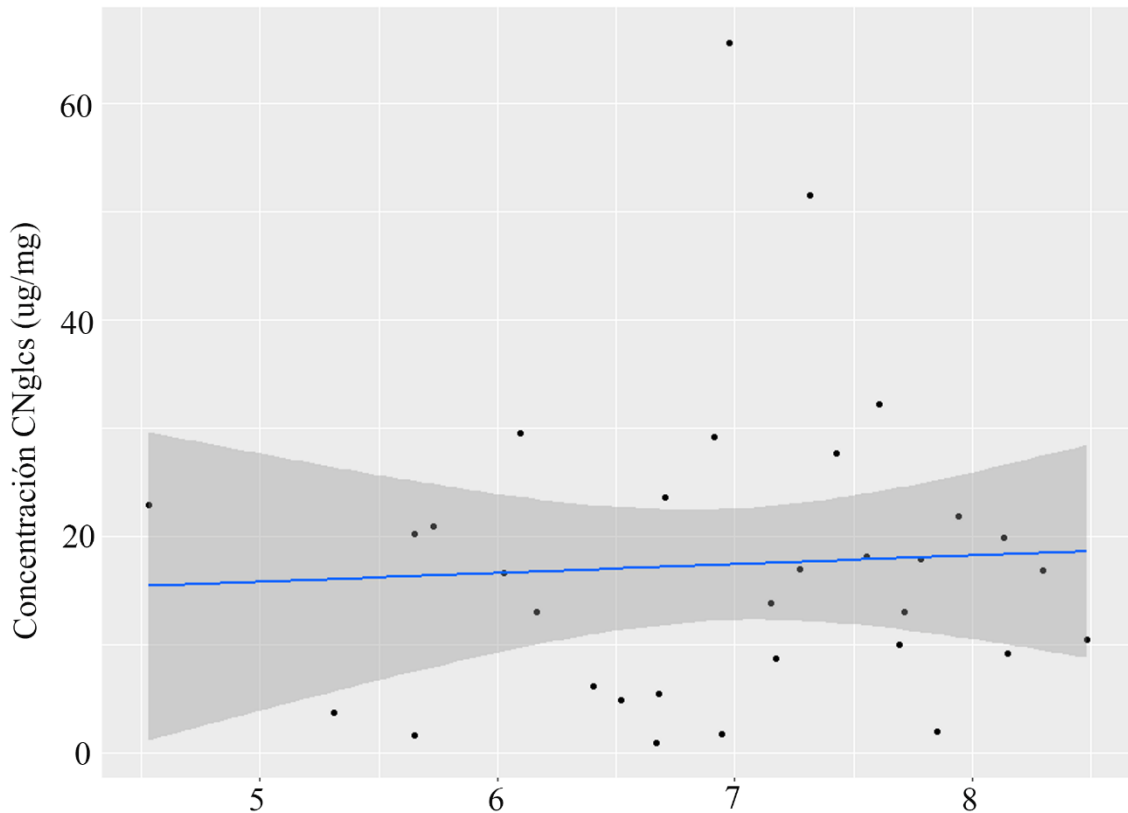


Figura S35. Comportamiento y visualización de la no correlación entre coloración-toxicidad para el anillo *dennis-ray*. A) Eje X: Valores JNDs para contraste cromático rojo contra fondo verde del bosque, evaluado bajo el tipo de visión aviar UVS, vista dorsal del ala y luz ambiental claro grande para el anillo *dennis-ray*. Eje Y: Concentración total de CNgles por cada individuo perteneciente al anillo *dennis-ray*



Valores JNDs Contraste cromático amarillo-fondo verde del bosque

Figura S36. Comportamiento y visualización de la no correlación entre coloración-toxicidad para el anillo *dennis-ray*. A) Eje X: Valores JNDs para contraste cromático amarillo contra fondo verde del bosque, evaluado bajo el tipo de visión aviar UVS, vista dorsal del ala y luz ambiental claro grande para el anillo *dennis-ray*. Eje Y: Concentración total de CNgles por cada individuo perteneciente al anillo *dennis-ray*

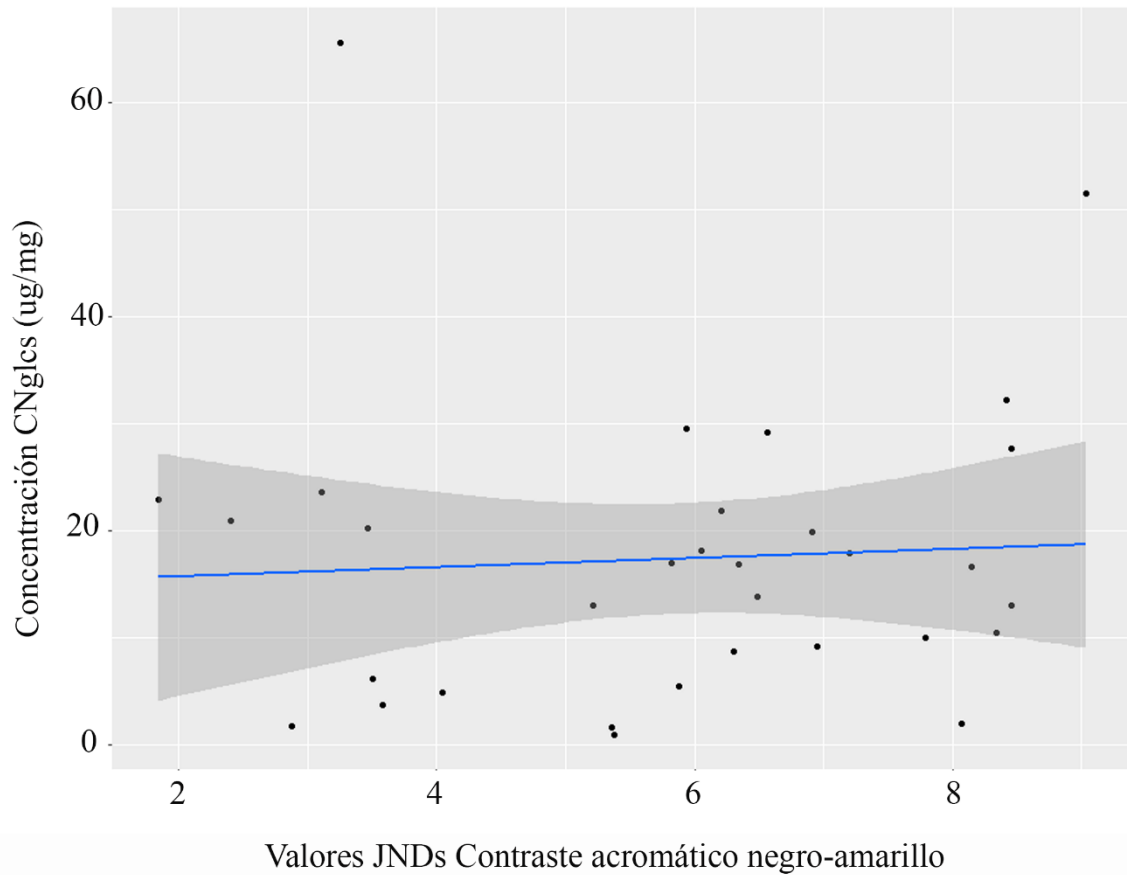


Figura S37. Comportamiento y visualización de la no correlación entre coloración-toxicidad para el anillo *dennis-ray*. A) Eje X: Valores JNDs para contraste acromático negro interno del ala contra el amarillo, evaluado bajo el tipo de visión aviar UVS, vista dorsal del ala y luz ambiental claro grande para el anillo *dennis-ray*. Eje Y: Concentración total de CNGlcs por cada individuo perteneciente al anillo *dennis-ray*.

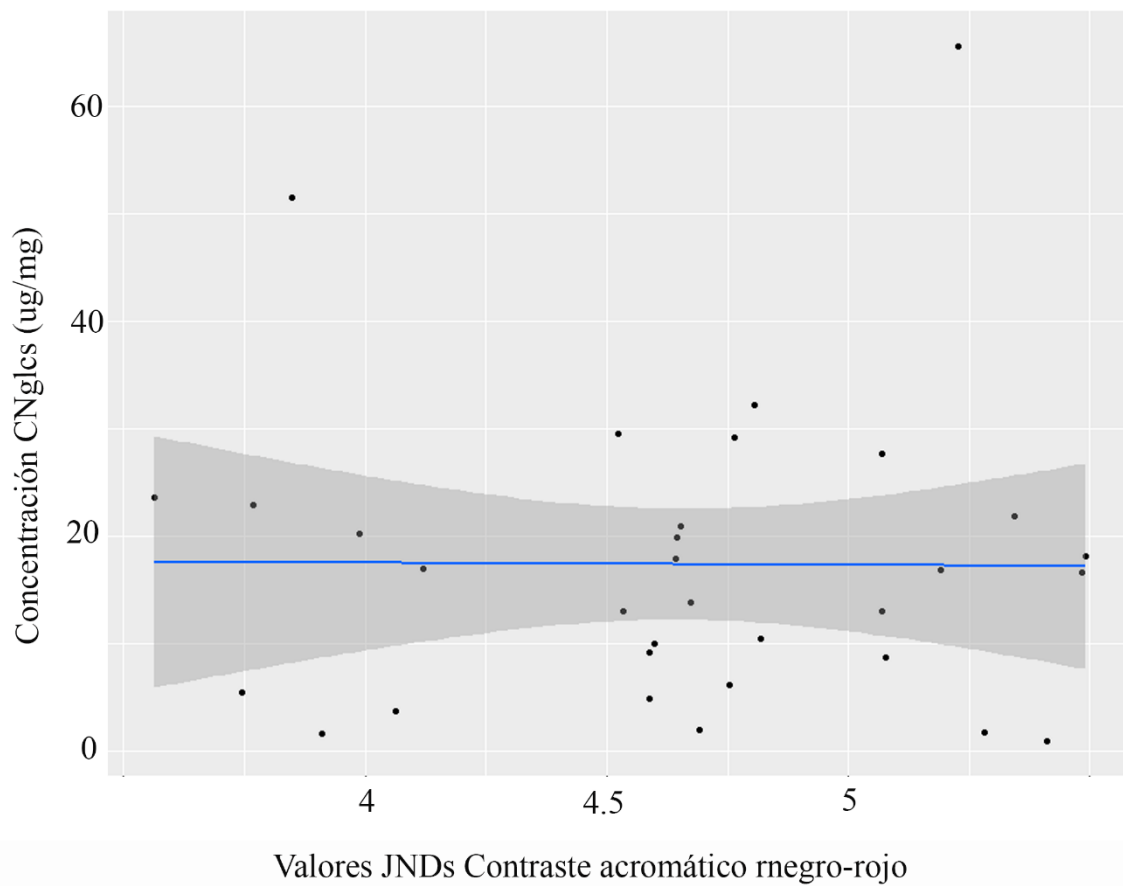


Figura S38. Comportamiento y visualización de la no correlación entre coloración-toxicidad para el anillo *dennis-ray*. A) Eje X: Valores JNDs para contraste acromático negro interno del ala contra el rojo, evaluado bajo el tipo de visión aviar UVS, vista dorsal del ala y luz ambiental claro grande para el anillo *dennis-ray*. Eje Y: Concentración total de CNgles por cada individuo perteneciente al anillo *dennis-ray*.

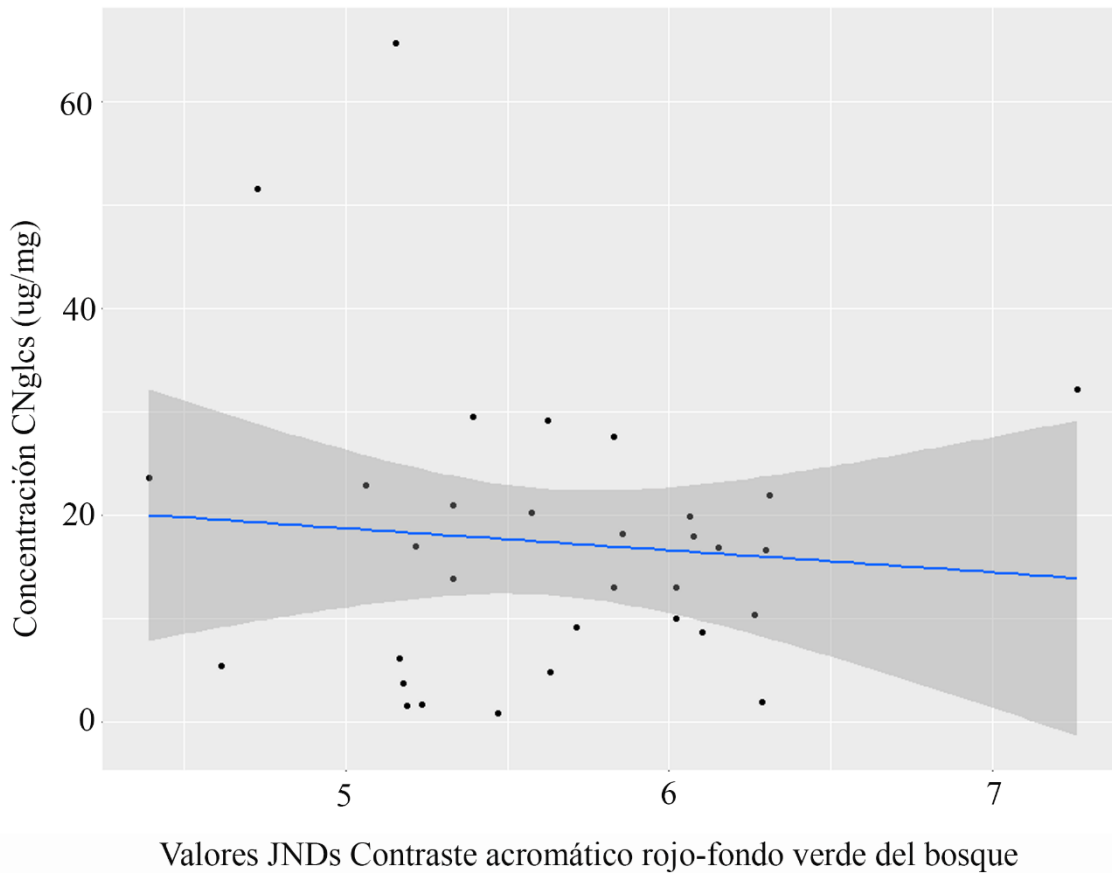


Figura S39. Comportamiento y visualización de la no correlación entre coloración-toxicidad para el anillo *dennis-ray*. A) Eje X: Valores JNDs para contraste acromático rojo contra fondo verde del bosque, evaluado bajo el tipo de visión aviar UVS, vista dorsal del ala y luz ambiental claro grande para el anillo *dennis-ray*. Eje Y: Concentración total de CNGlcs por cada individuo perteneciente al anillo *dennis-ray*.

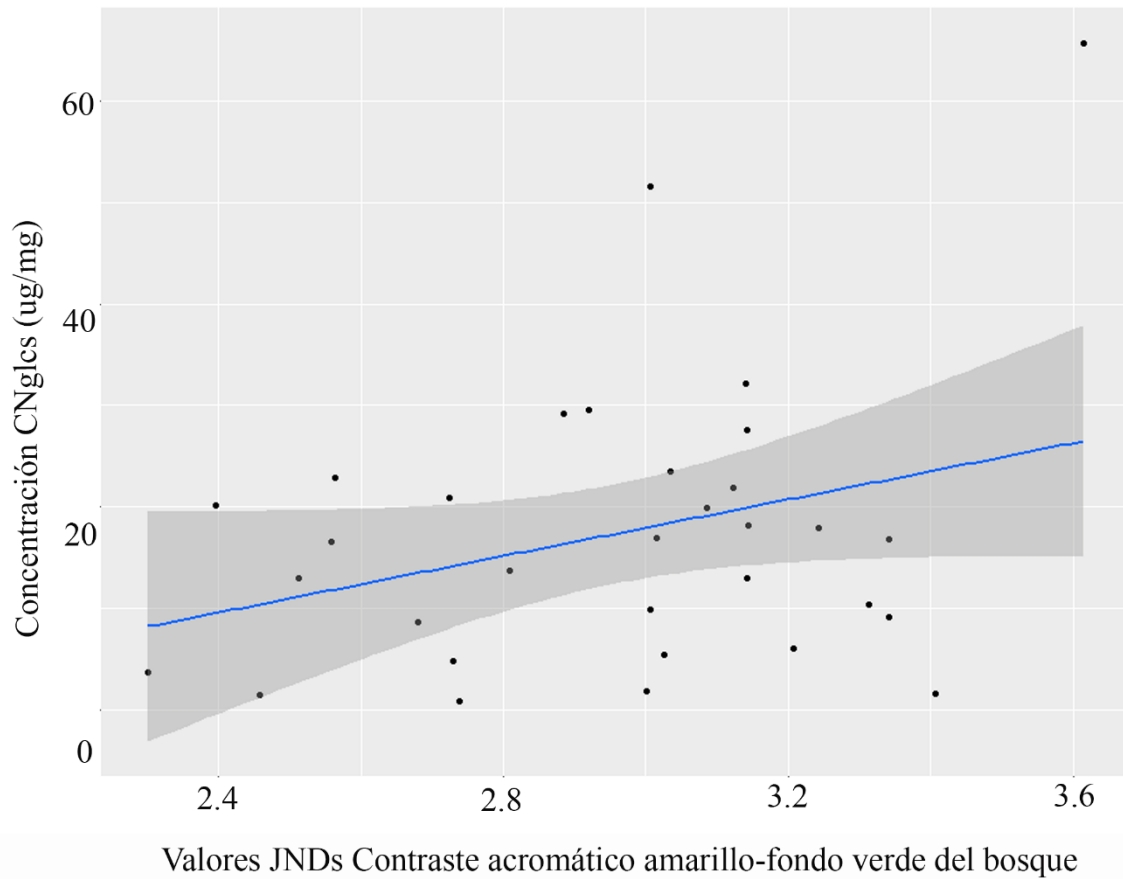


Figura S40. Comportamiento y visualización de la no correlación entre coloración-toxicidad para el anillo *dennis-ray*. A) Eje X: Valores JNDs para contraste acromático amarillo contra fondo verde del bosque, evaluado bajo el tipo de visión aviar UVS, vista dorsal del ala y luz ambiental claro grande para el anillo *dennis-ray*. Eje Y: Concentración total de CNglcs por cada individuo perteneciente al anillo *dennis-ray*.